

Narodowe  
Laboratorium  
Technologii  
Kwantowych



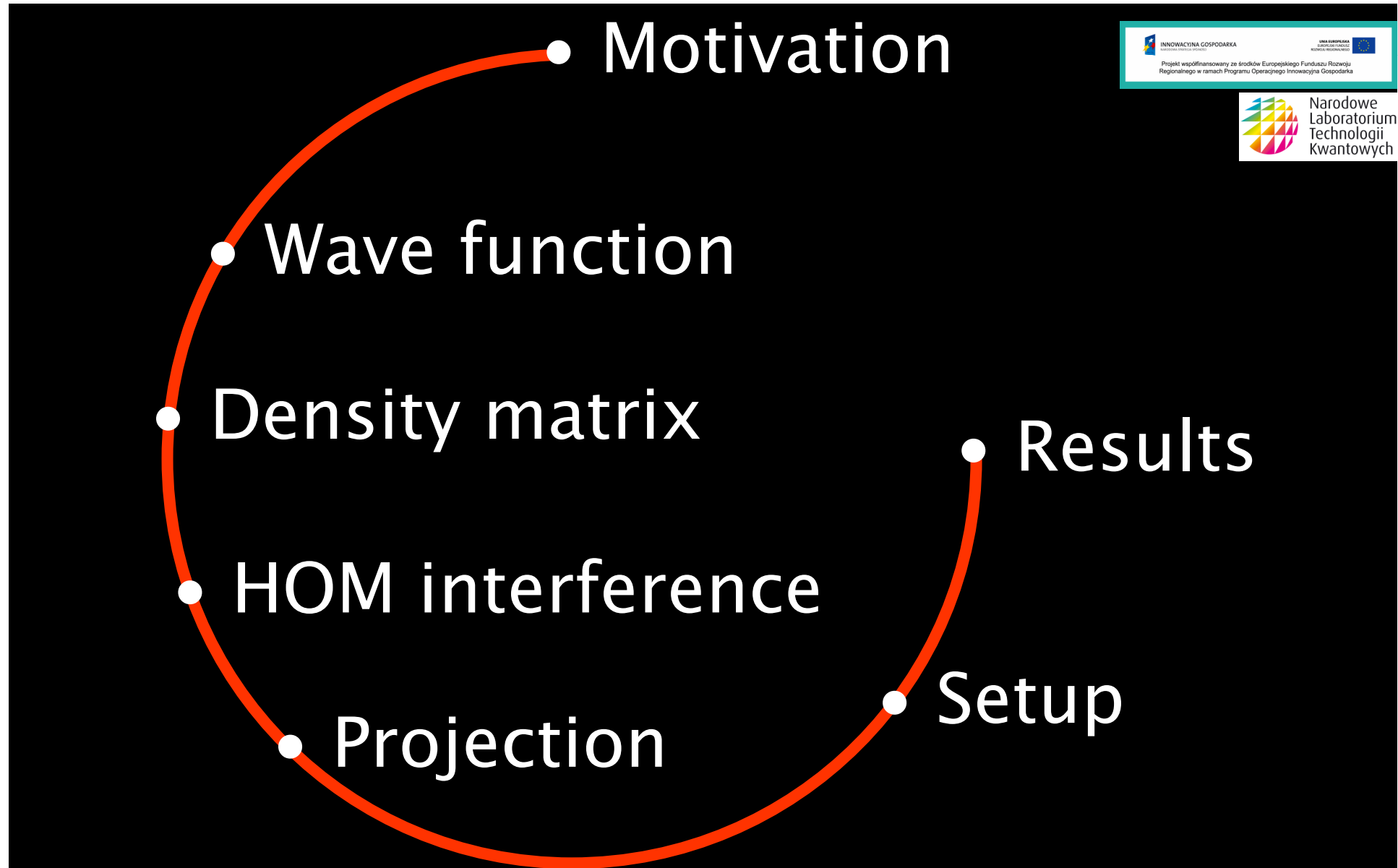
INNOWACYJNA GOSPODARKA  
NARODOWA STRATEGIA SPOJNOŚCI

UNIA EUROPEJSKA  
EUROPEJSKI FUNDUSZ  
ROZWOJU REGIONALNEGO

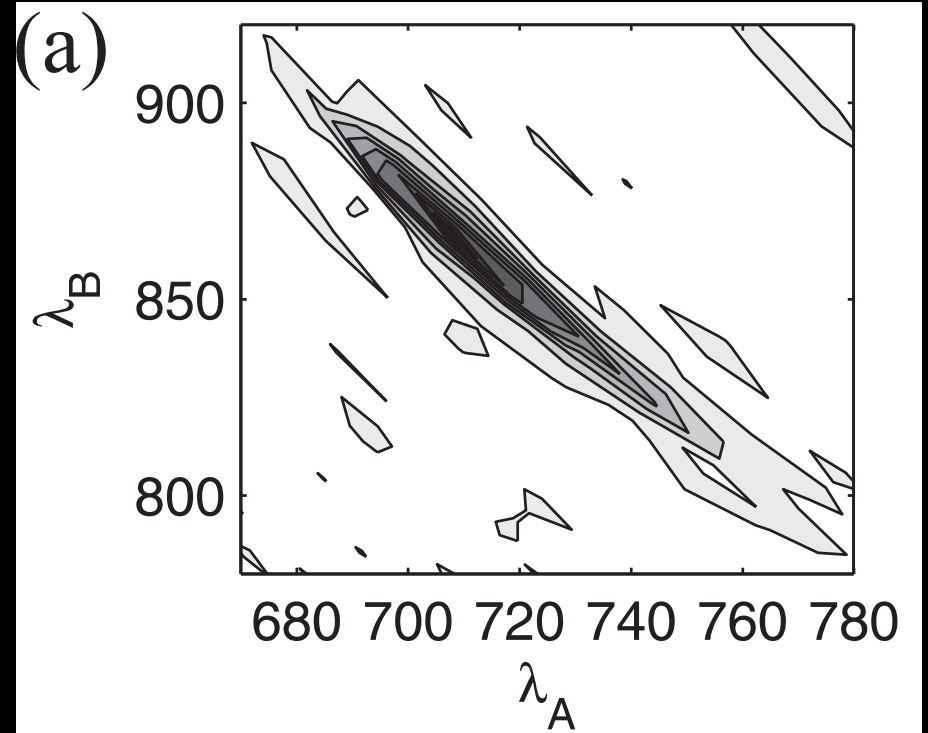
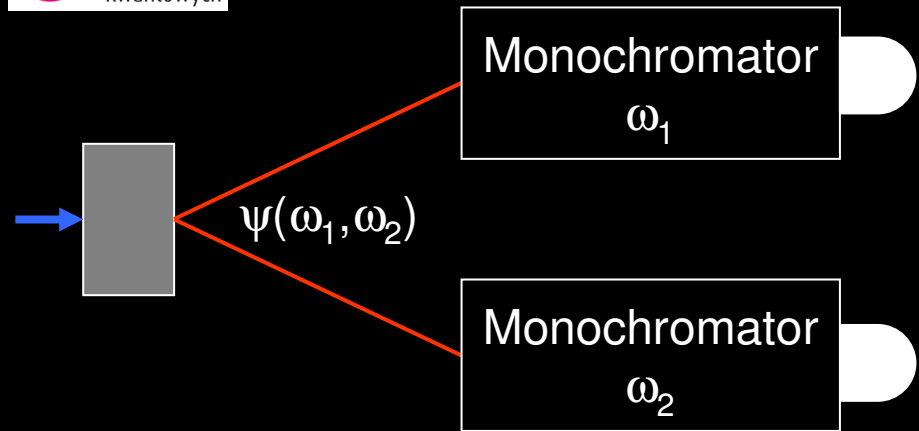


Projekt współfinansowany ze środków Europejskiego Funduszu Rozwoju Regionalnego w ramach Programu Operacyjnego Innowacyjna Gospodarka

# Spectral density matrix of a single photon measured



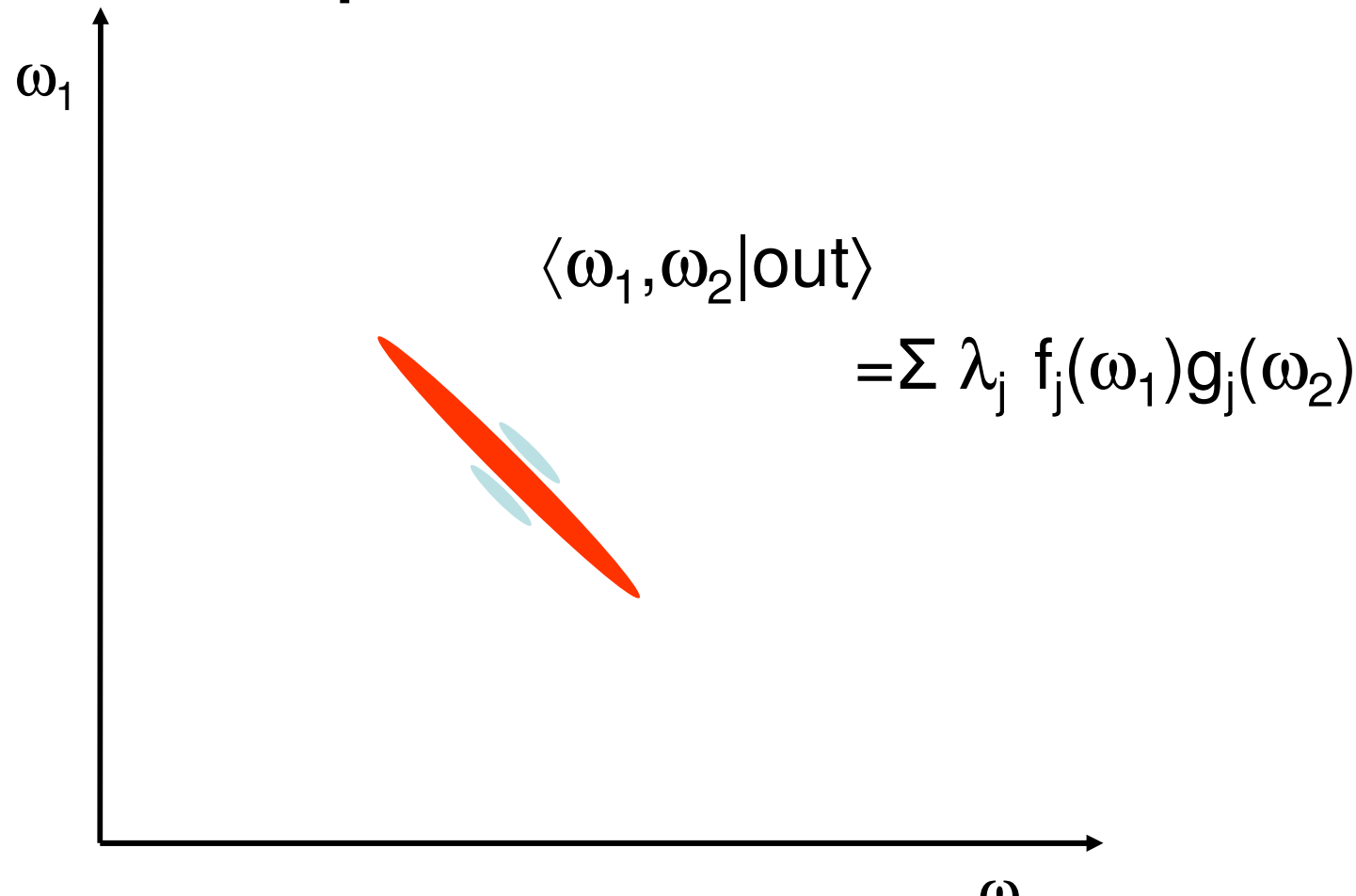
# Agenda



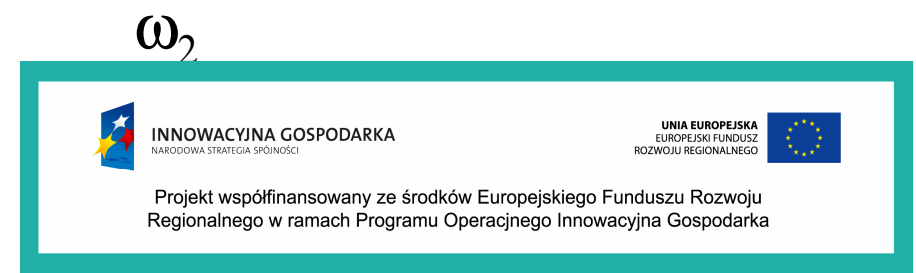
Y. Kim, W.P. Grice, Opt. Lett. **30**, 908, (2005)  
WW, P. Wasylczyk, P. Kolenderski, K. Banaszek, C. Radzewicz,  
Opt. Lett. **31**, 1130 (2006).

Yesterday

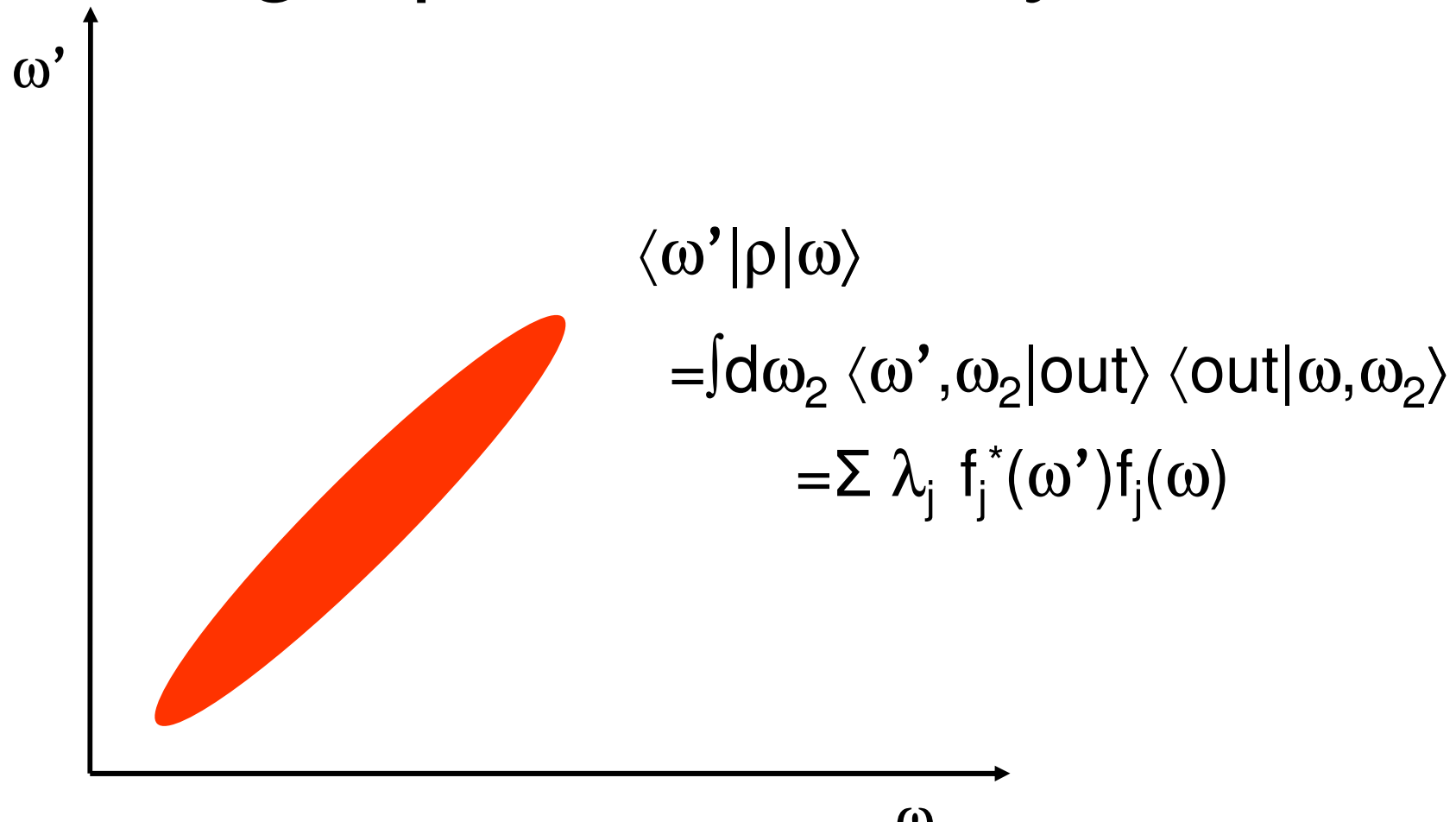
# Biphoton wavefunction



Narodowe  
Laboratorium  
Technologii  
Kwantowych



# Single photon density matrix

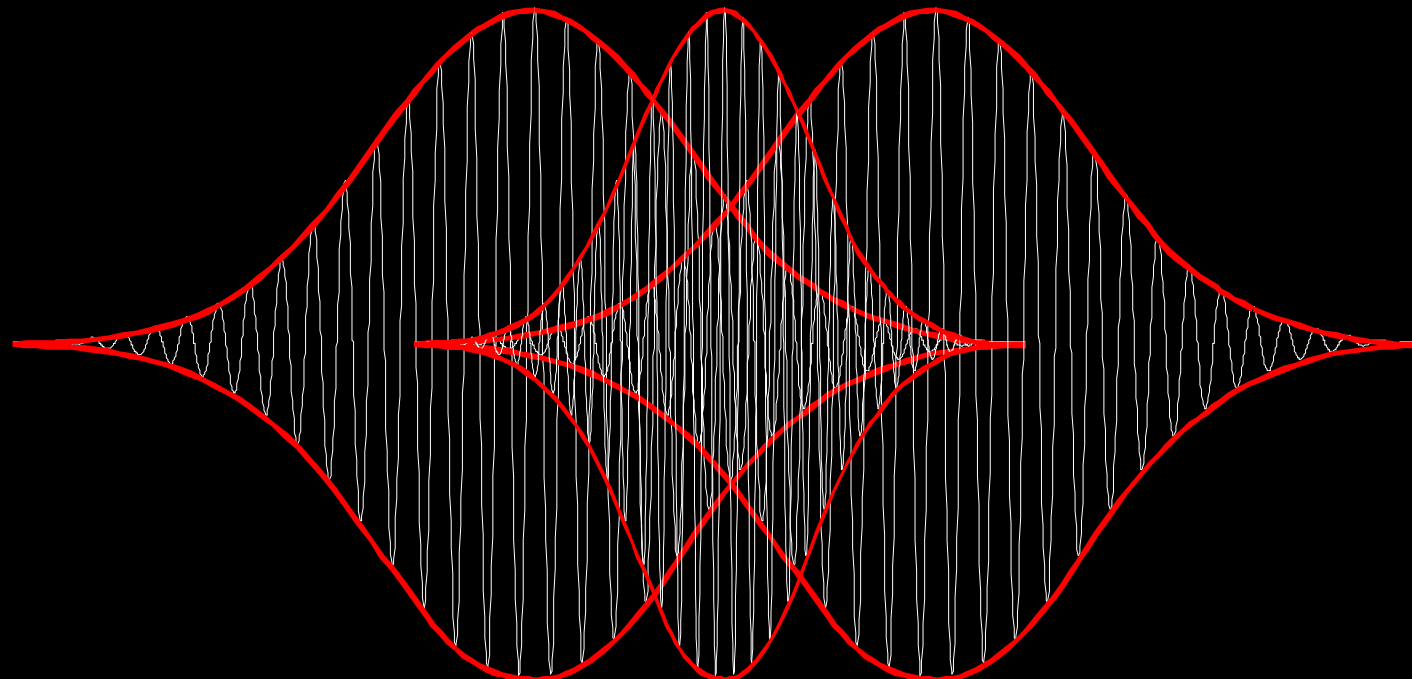


Narodowe  
Laboratorium  
Technologii  
Kwantowych



$$|1\rangle = \sum c_k |1\rangle_k$$

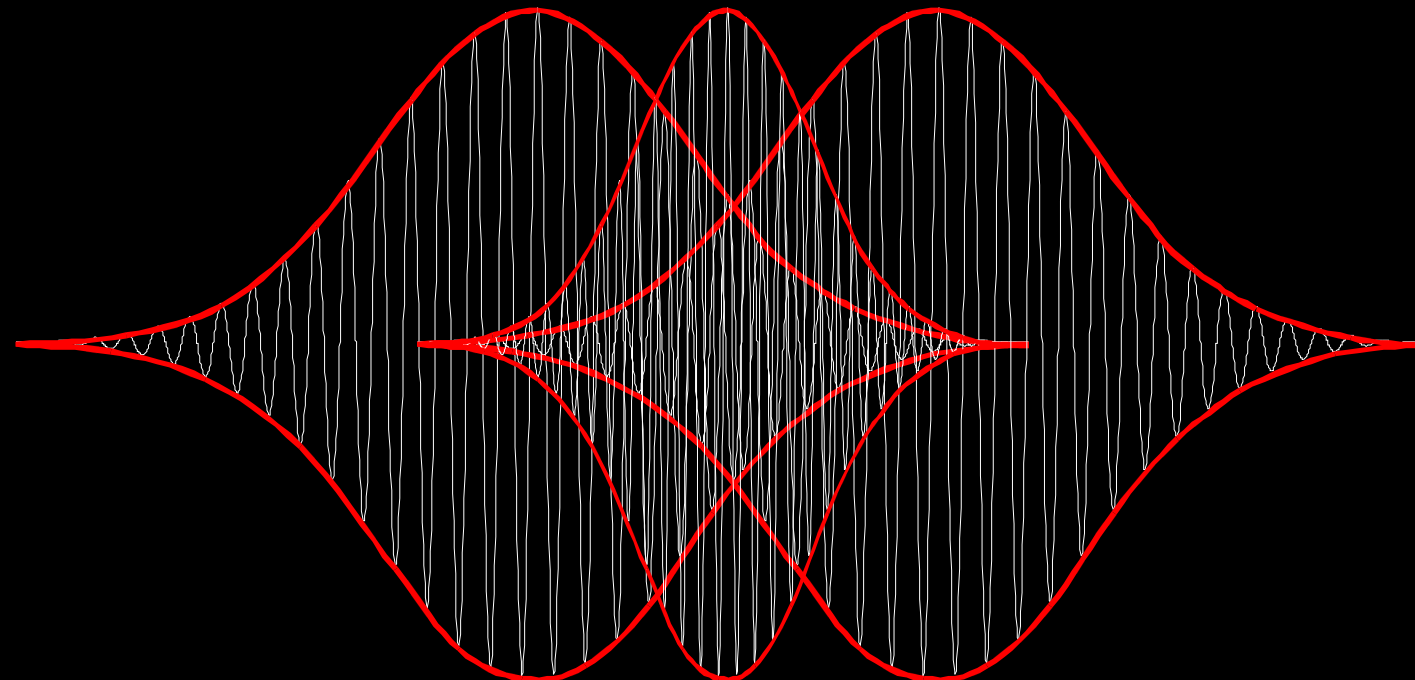
$$\rho = \sum p_a |1_a\rangle\langle 1_a|$$



# Coherence?

$$|1\rangle = \sum c_k |1\rangle_k$$

$$\rho = \sum p_a |1_a\rangle\langle 1_a|$$

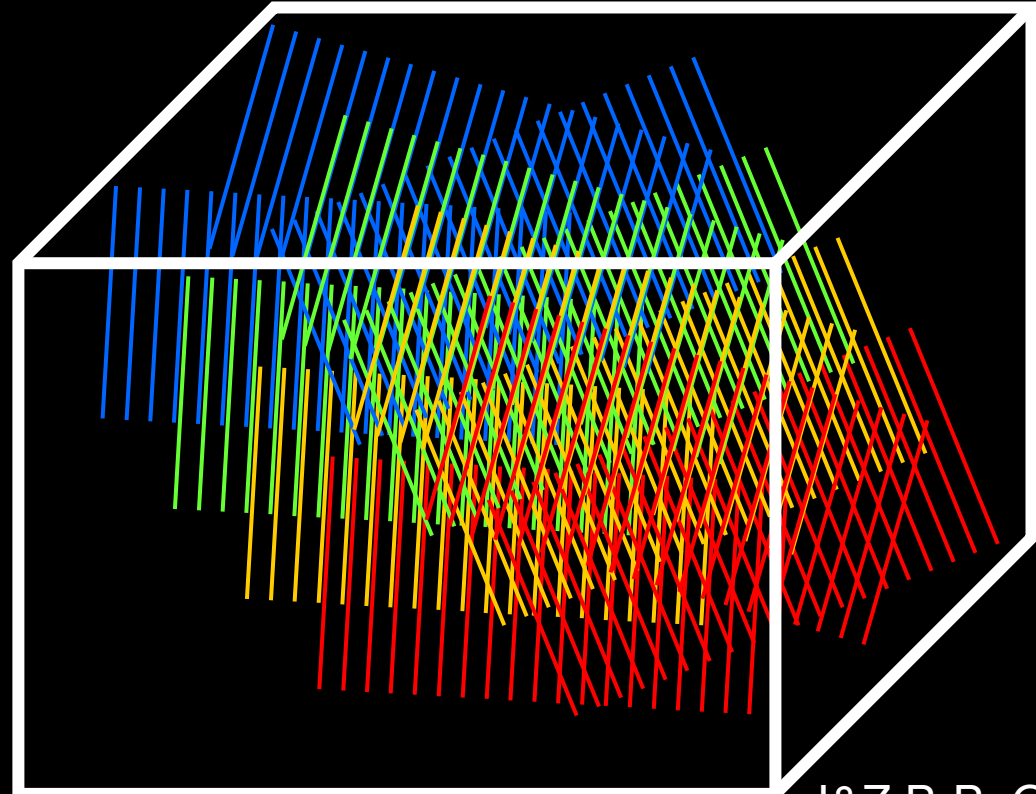


Coherence?

$$E(\mathbf{x},t) = \sum e_k \exp(i\mathbf{k} \cdot \mathbf{x}) + c.c.$$

$$B(\mathbf{x},t) = \sum b_k \dots$$

$$\begin{aligned}\dot{q} &= p/m \\ \dot{p} &= -m\omega^2 q\end{aligned}$$



$$|1\rangle_k = a_k^\dagger |0\rangle$$

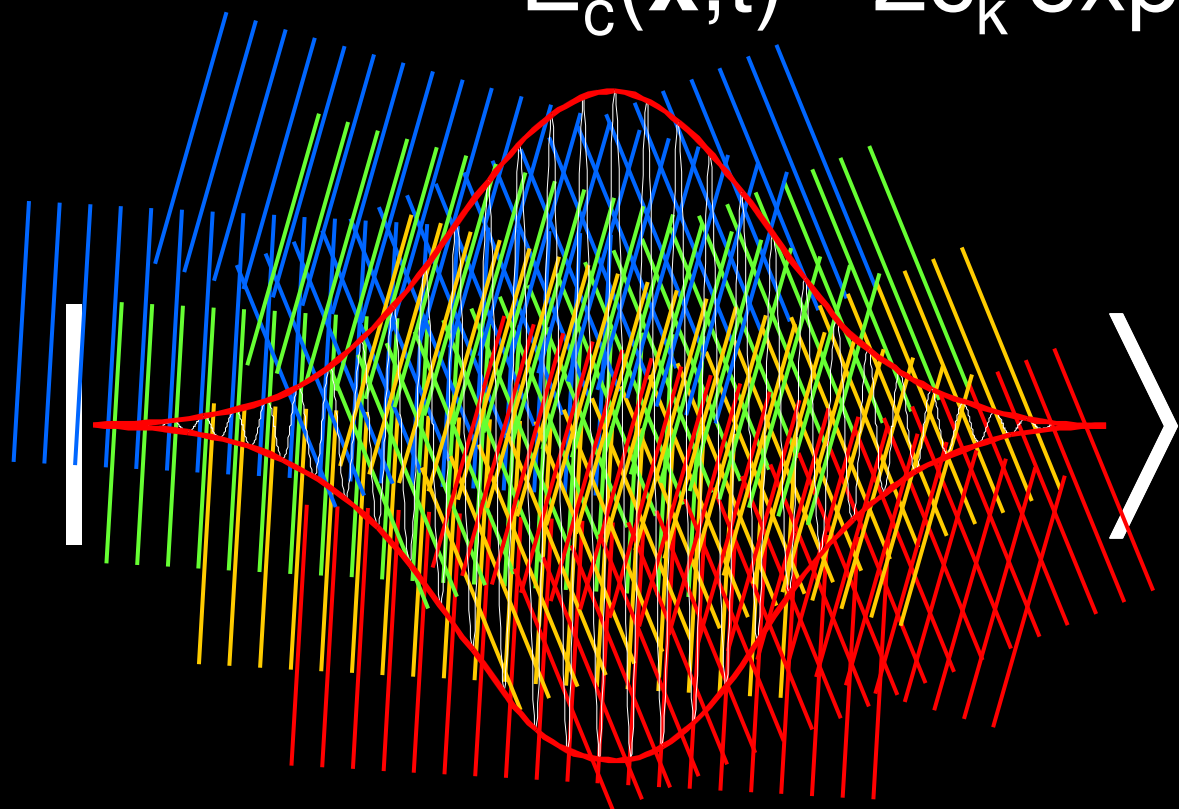
I&Z B-B, QED ..., Encyclopedia of Modern Optics



# Quantization in a box

$$|1\rangle_c = \sum c_k |1\rangle_k$$

$$E_c(x,t) = \sum c_k \exp(i\mathbf{k} \cdot \mathbf{x} - i\omega t)$$



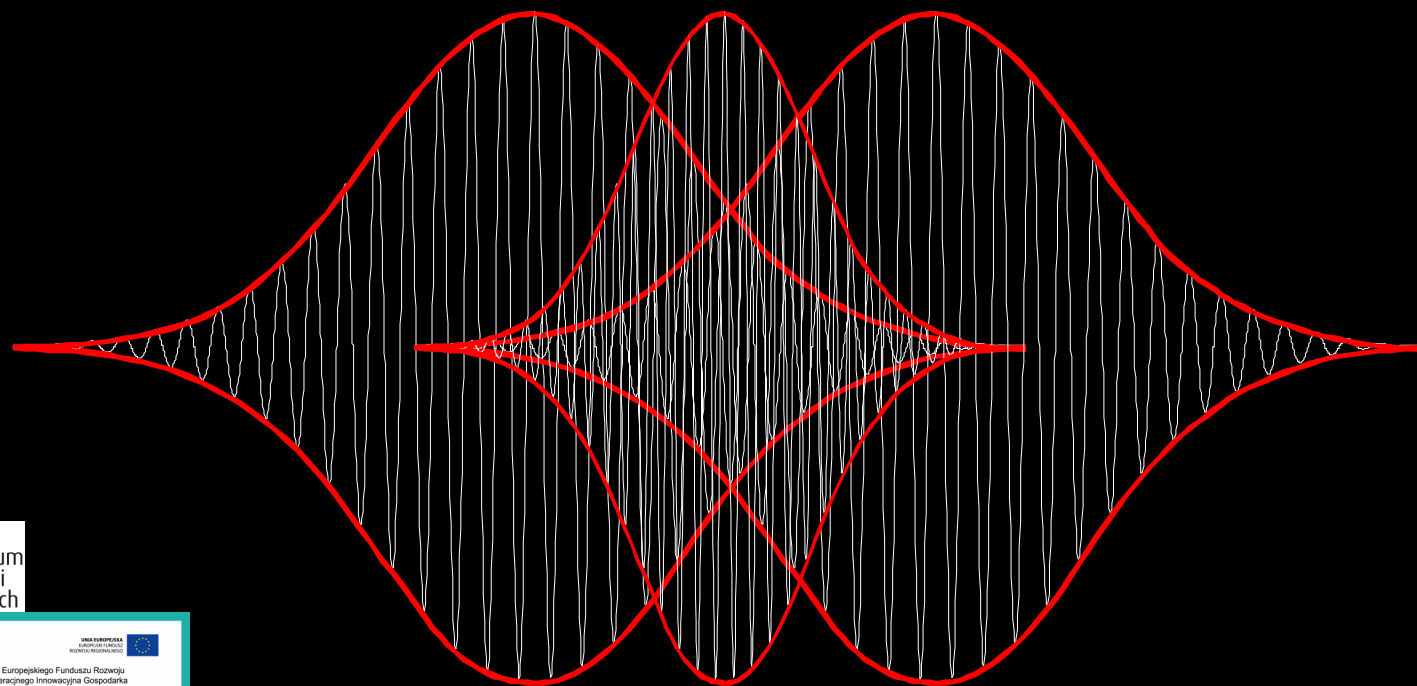
Single photon WF

$$|1\rangle = \sum c_k |1\rangle_k$$

$$E(x) = \sum c_k \exp(i\mathbf{k} \cdot \mathbf{x} - i\omega t)$$

$$\rho = \sum p_a |1_a\rangle\langle 1_a|$$

$$\rho(t,t') = \sum p_a E_a^*(t) E_a(t')$$



Narodowe  
Laboratorium  
Technologii  
Kwantowych



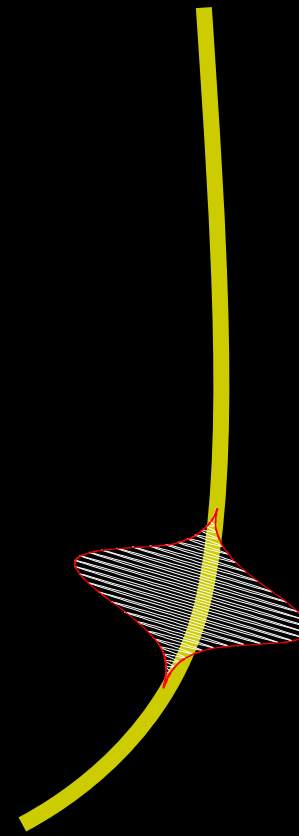
# Single photon mixed

$$\hat{\rho} = \iint d\omega d\omega' \rho(\omega, \omega') \hat{a}^\dagger(\omega) |0\rangle\langle 0| \hat{a}(\omega')$$

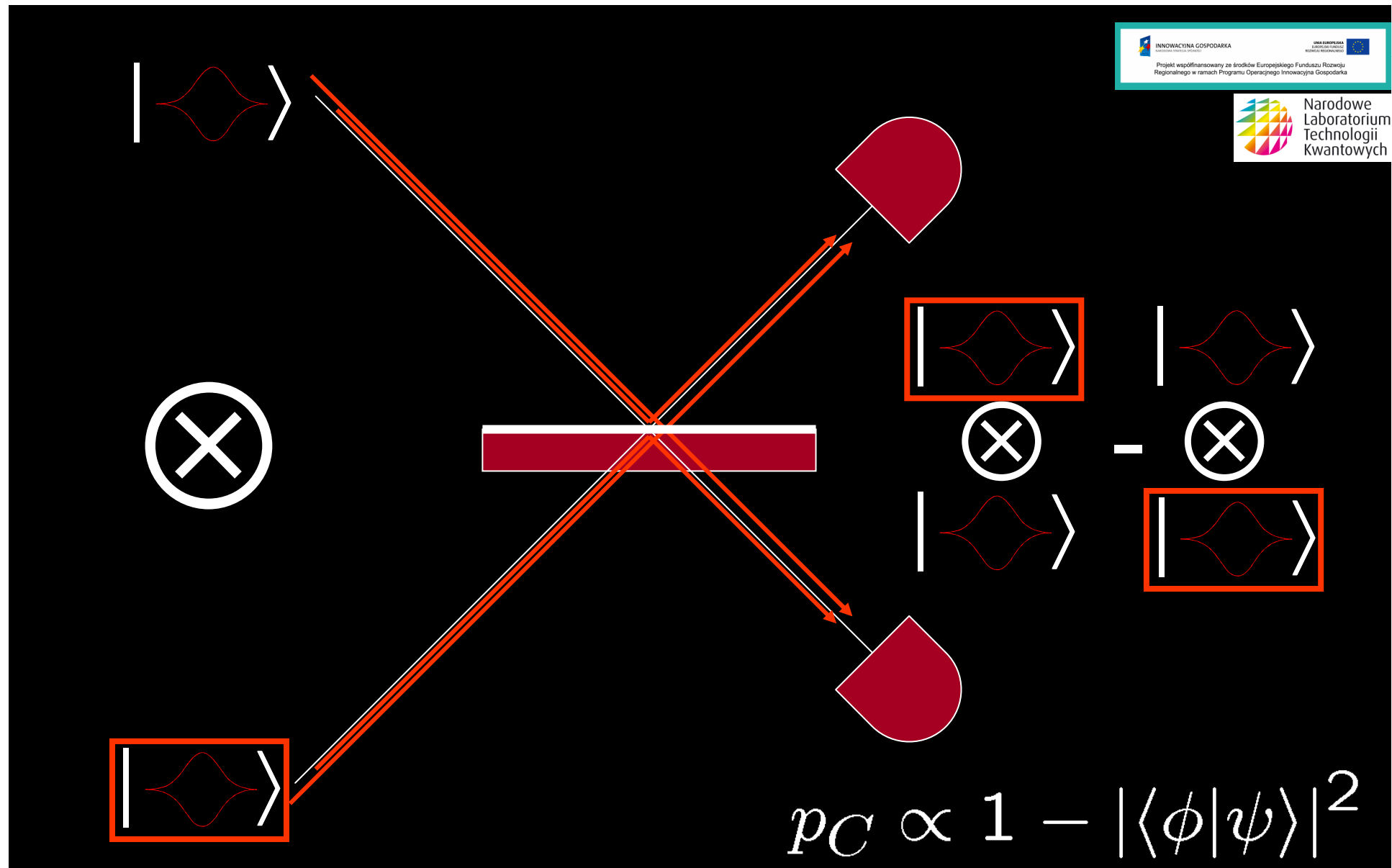
$$\rho(\omega, \omega') = \sum_n p_n f_n^*(\omega) f_n(\omega')$$

$$\hat{\rho} = \sum_n p_n |1_n\rangle\langle 1_n|$$

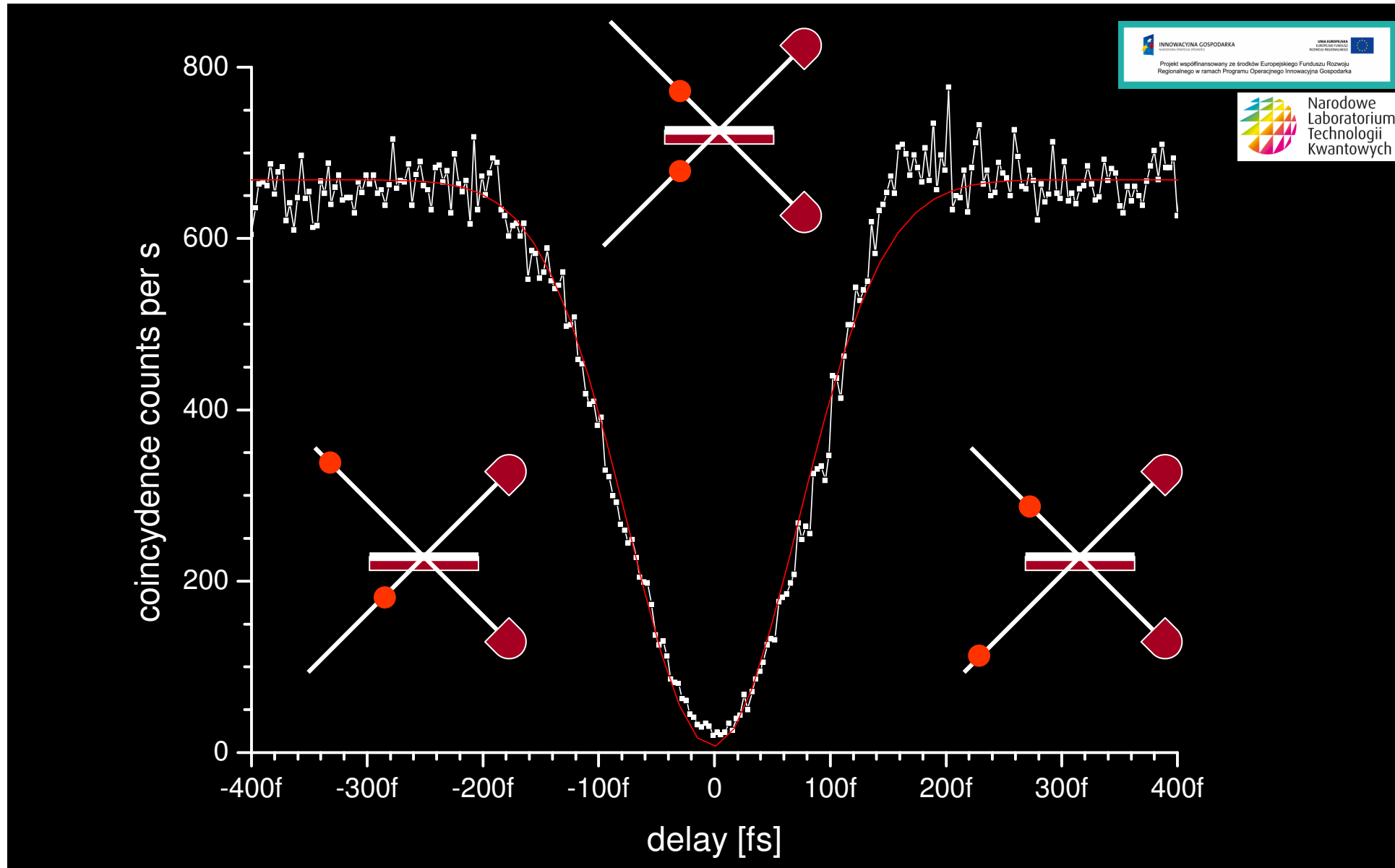
$$|1_n\rangle = \int d\omega f_n(\omega) \hat{a}^\dagger(\omega) |0\rangle$$



# Quantities of interest



# Hong–Ou–Mandel



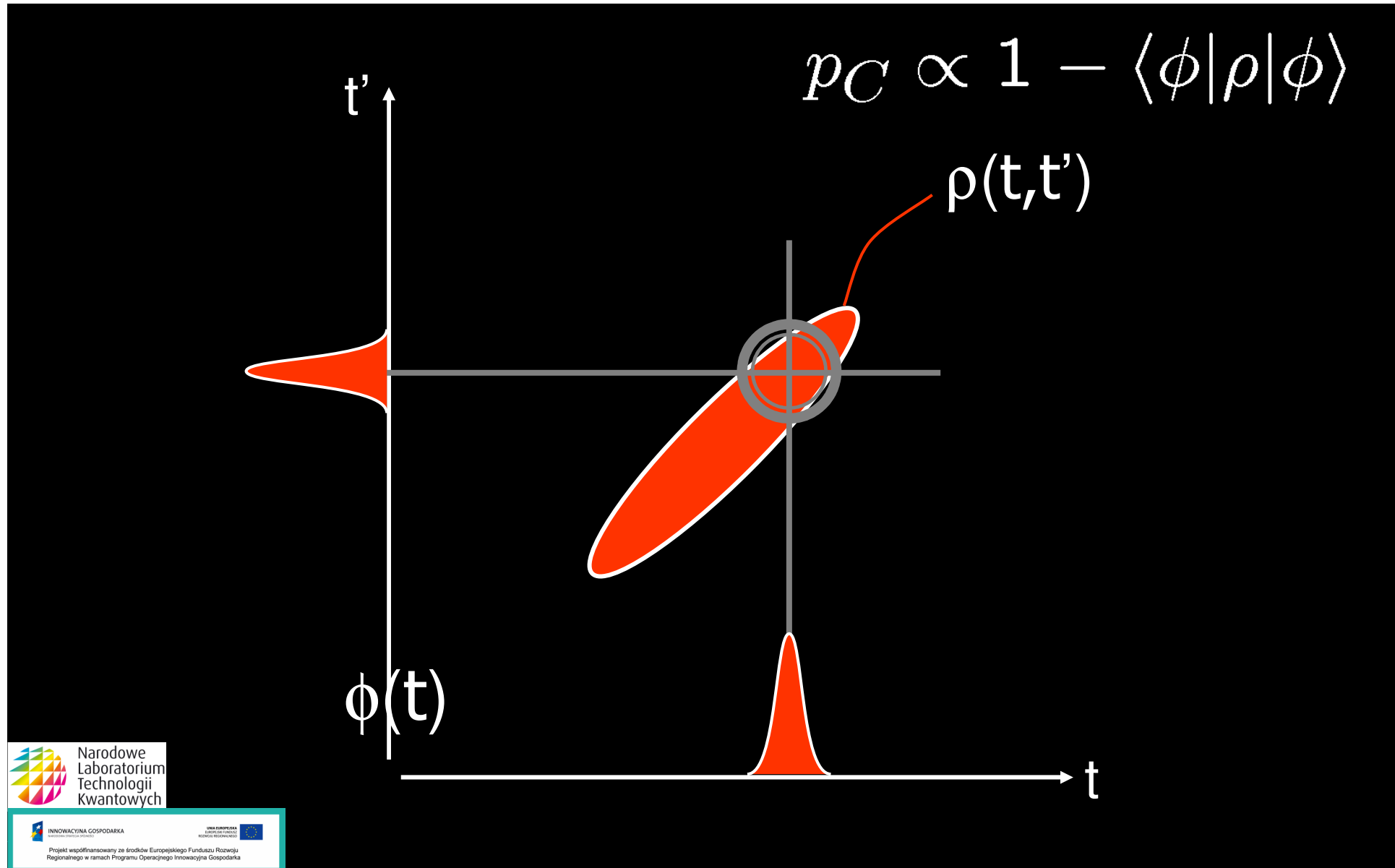
# Houng-Ou-Mandel

$\rho(t, t') = ?$

$\phi(t)$

$$p_C \propto 1 - \langle \phi | \rho | \phi \rangle$$

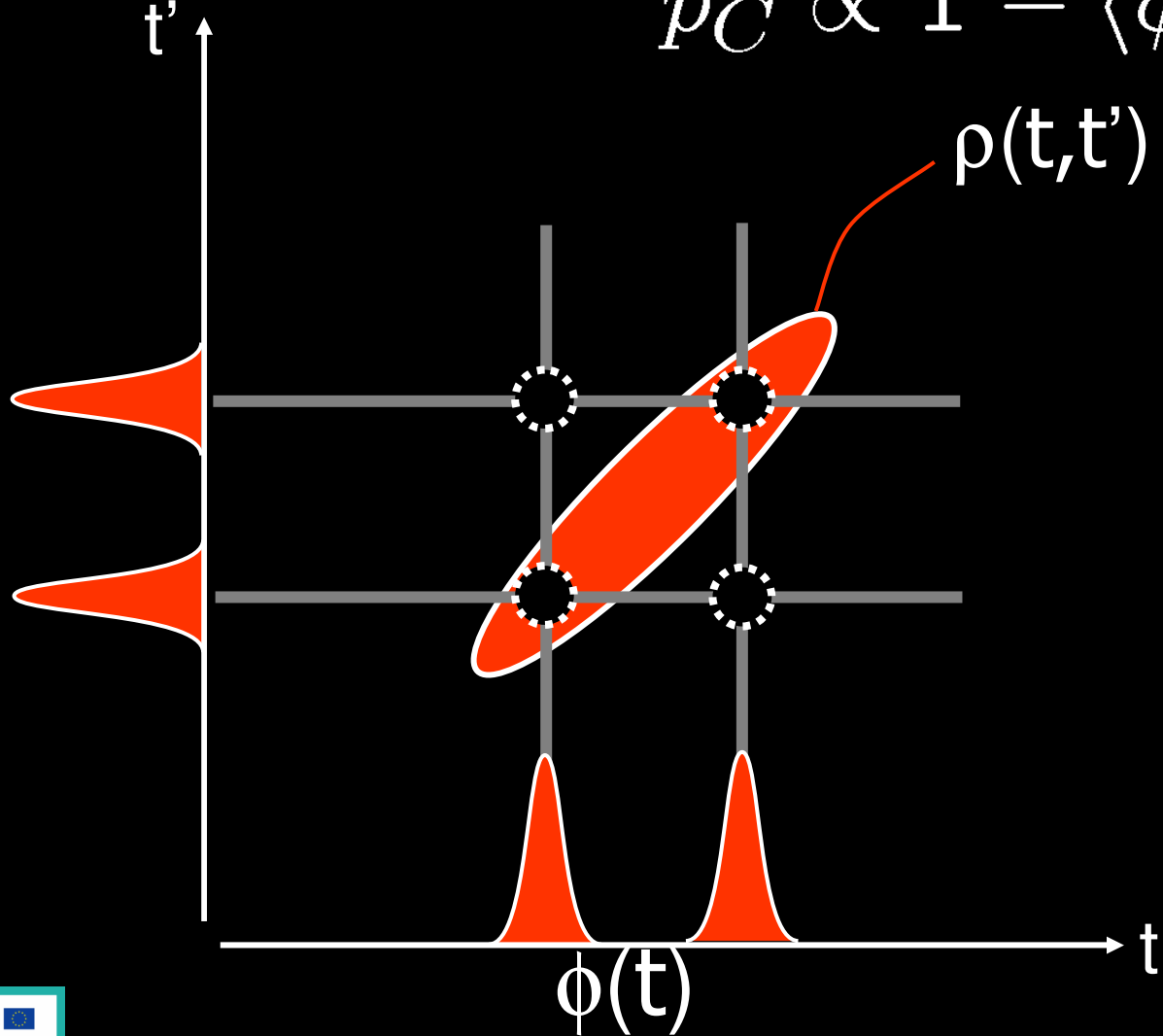
Multisided observation



# Biased observation

$$p_C \propto 1 - \langle \phi | \rho | \phi \rangle$$

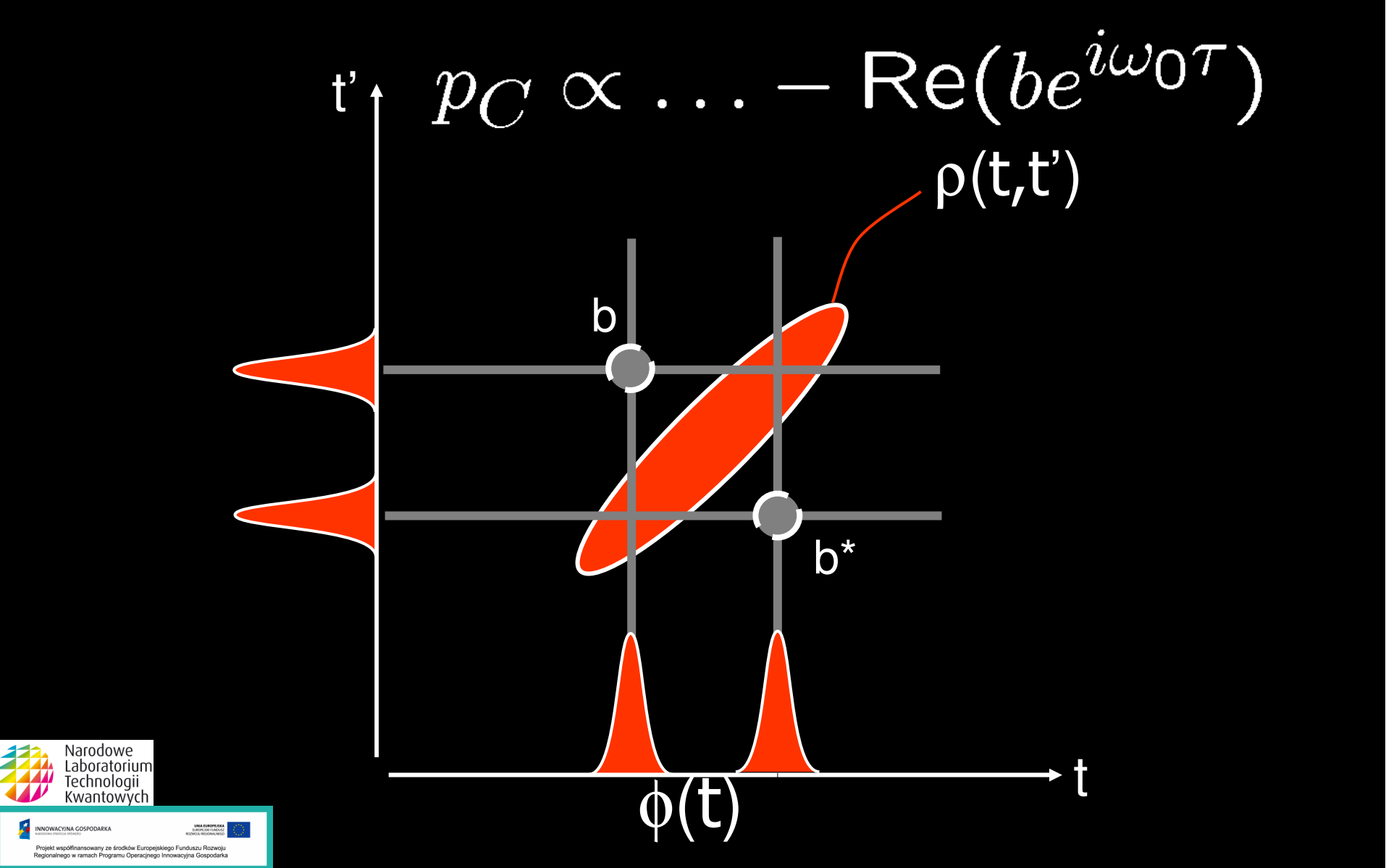
$$\rho(t,t')$$



Narodowe  
Laboratorium  
Technologii  
Kwantowych

INNOWACYJNA GOSPODARKA  
EUROPEJSKI FUNDUSZ ROZWOJU REGIONALNEGO  
Projekt współfinansowany ze środków Europejskiego Funduszu Rozwoju  
Regionalnego w ramach Programu Operacyjnego Innowacyjna Gospodarka

# Double pulse



Narodowe  
Laboratorium  
Technologii  
Kwantowych

INNOWACYJNA GOSPODARKA  
PROJEKT SPÓŁDZIELCZY  
UNIA EUROPEJSKA  
EUROPE FOR CITIES  
ROZWOJ REGIONALNY  
Projekt współfinansowany ze środków Europejskiego Funduszu Rozwoju Regionalnego w ramach Programu Operacyjnego Innowacyjna Gospodarka

Phase

$$\langle \phi | \rho | \phi \rangle$$

$$Q(\alpha) = \langle \alpha | \rho | \alpha \rangle$$



Narodowe  
Laboratorium  
Technologii  
Kwantowych



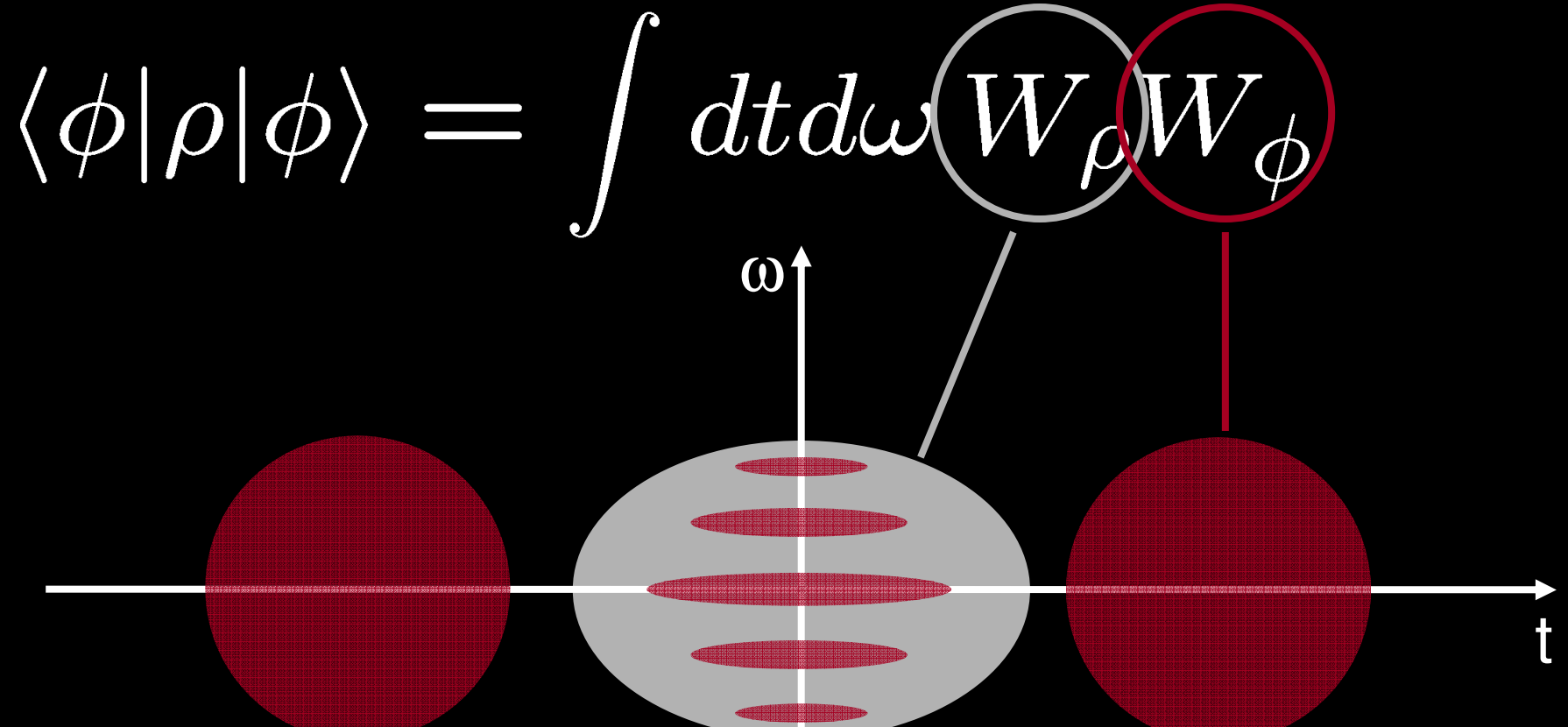
INNOWACYJNA GOSPODARKA  
NARODOWE LABORATORIUM  
TECHNOLOGII KWANTOWYCH



UNIA EUROPEJSKA  
EUROPEAN UNION

Projekt współfinansowany ze środków Europejskiego Funduszu Rozwoju  
Regionalnego w ramach Programu Operacyjnego Innowacyjna Gospodarka

# Analogies



Narodowe  
Laboratorium  
Technologii  
Kwantowych

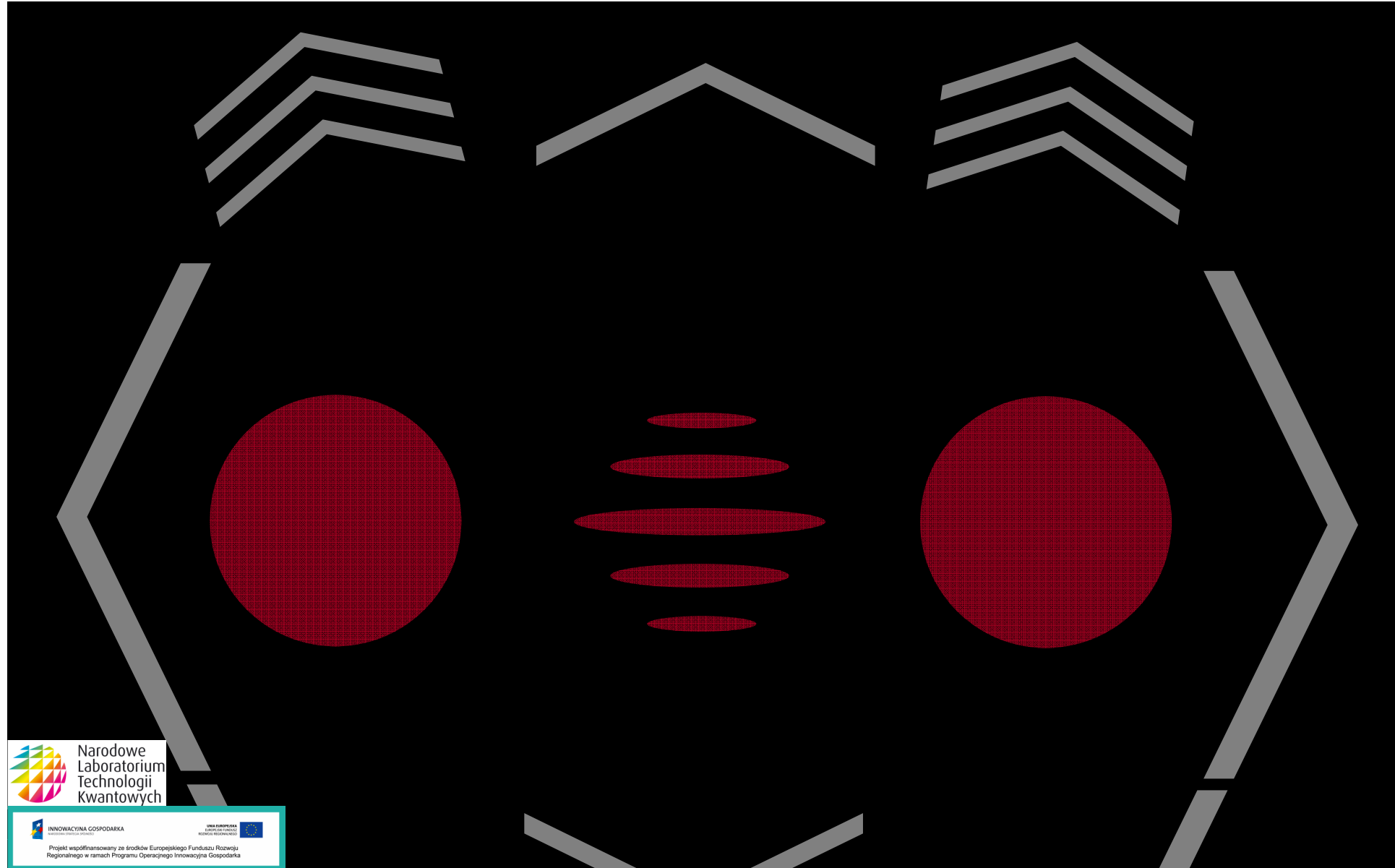
INNOWACYJNA GOSPODARKA  
PROGRAM OPERACYJNY INNOWACJI

Projekt współfinansowany ze środków Europejskiego Funduszu Rozwoju

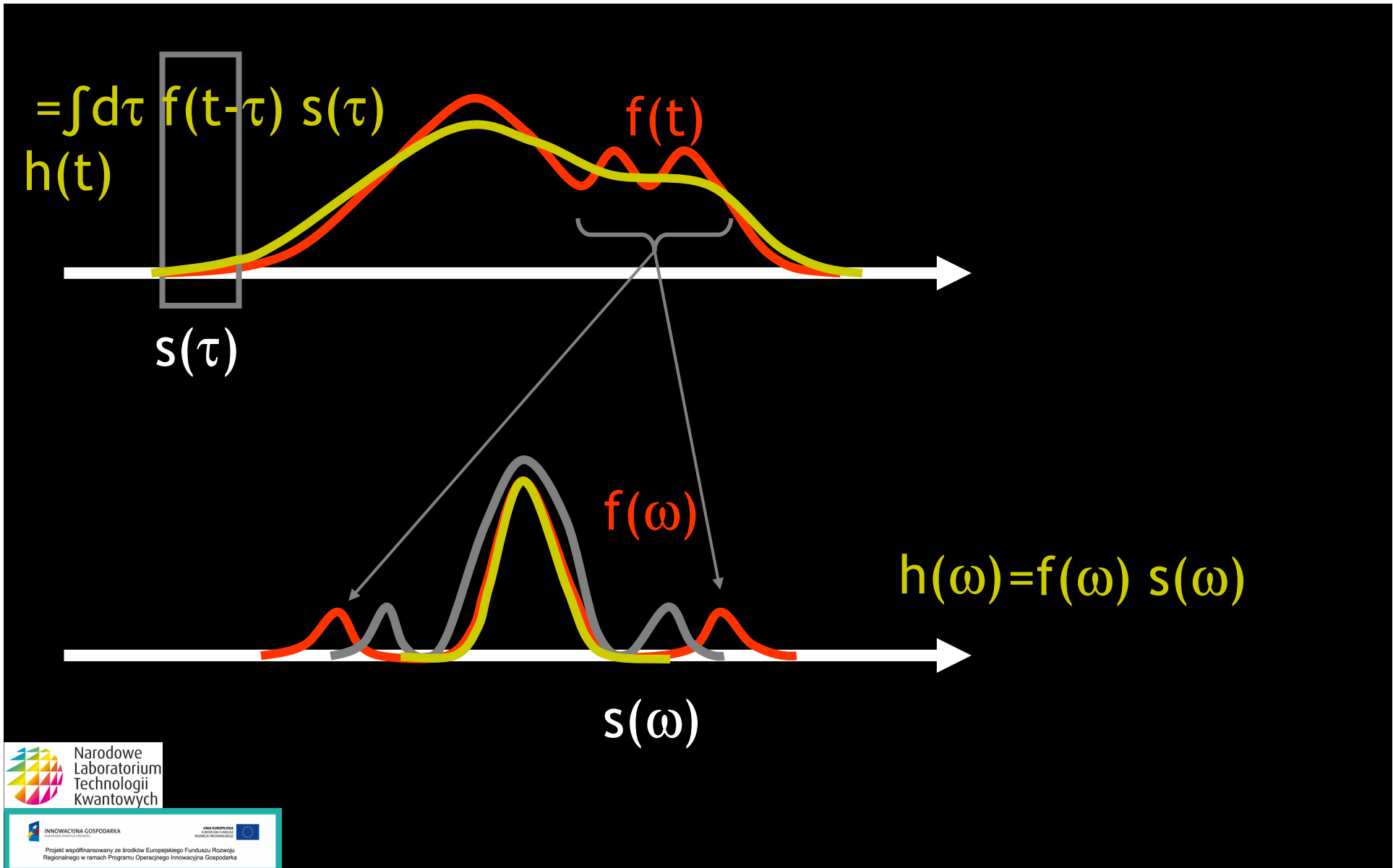
Regionalnego w ramach Programu Operacyjnego Innowacyjna Gospodarka

UNA EUROPEA  
EUROPEAN UNION  
FONDS REGIONAUX

# Phase space



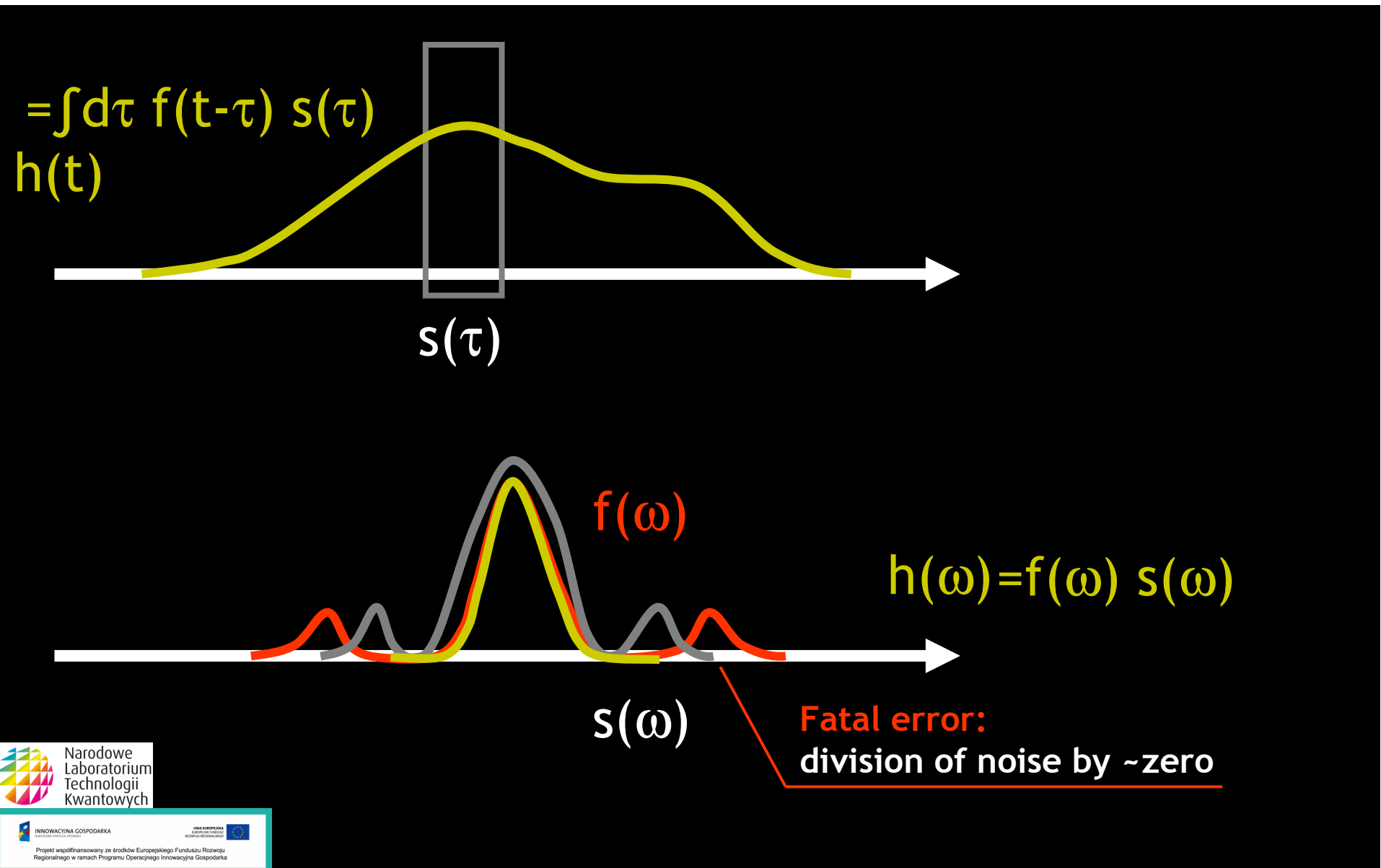
# Projection onto cat's state



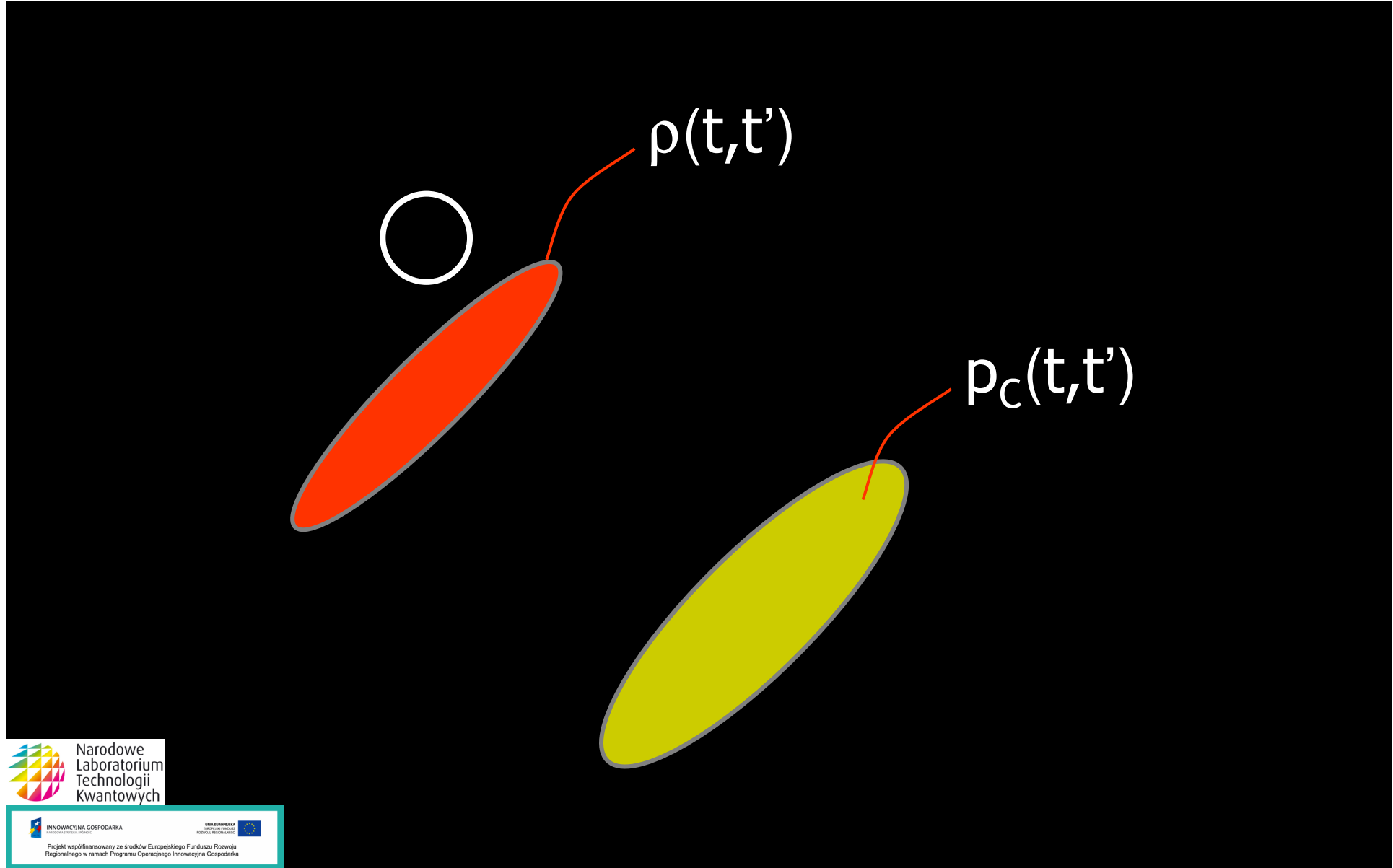
Narodowe  
Laboratorium  
Technologii  
Kwantowych

INNOWACYJNA GOSPODARKA  
PROJEKT SPÓŁCZESNOŚCIOWY  
PRZEDSIĘBIORSTWA  
UNIA EUROPEJSKA  
EUROPE FOR CULTURE  
ROZWOJ REGIONALNY  
Projekt współfinansowany ze środków Europejskiego Funduszu Rozwoju Regionalnego w ramach Programu Operacyjnego Innowacyjna Gospodarka

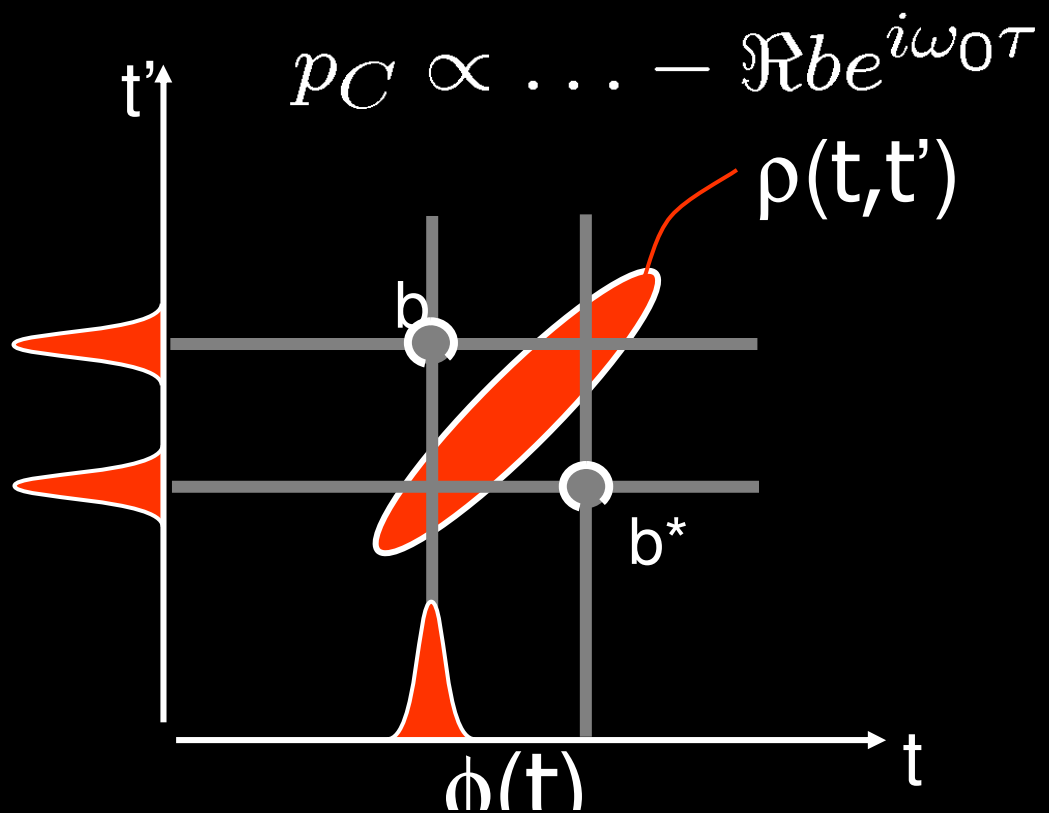
# Slit function



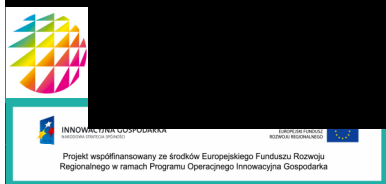
# Deconvolution



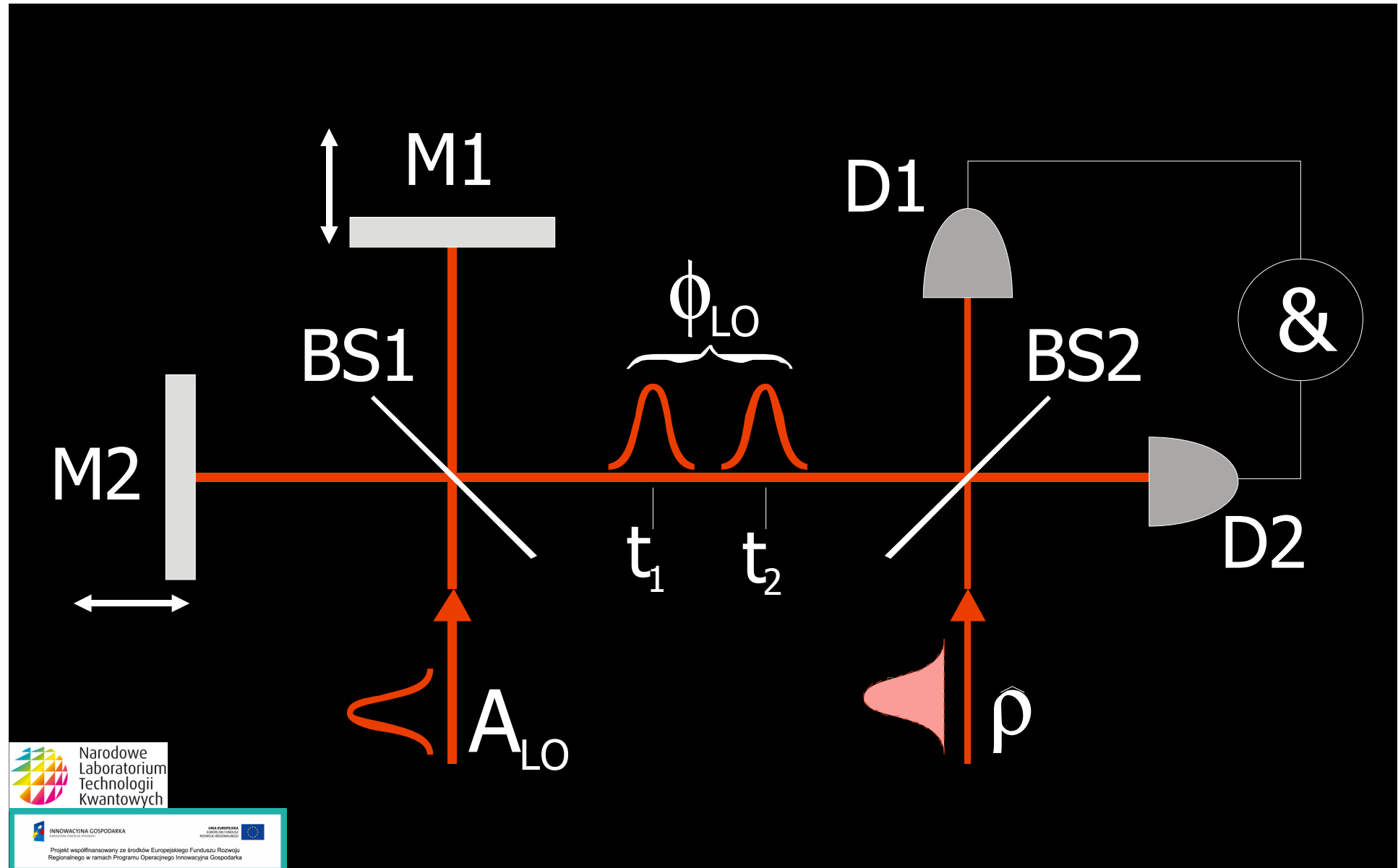
# 2D slit function



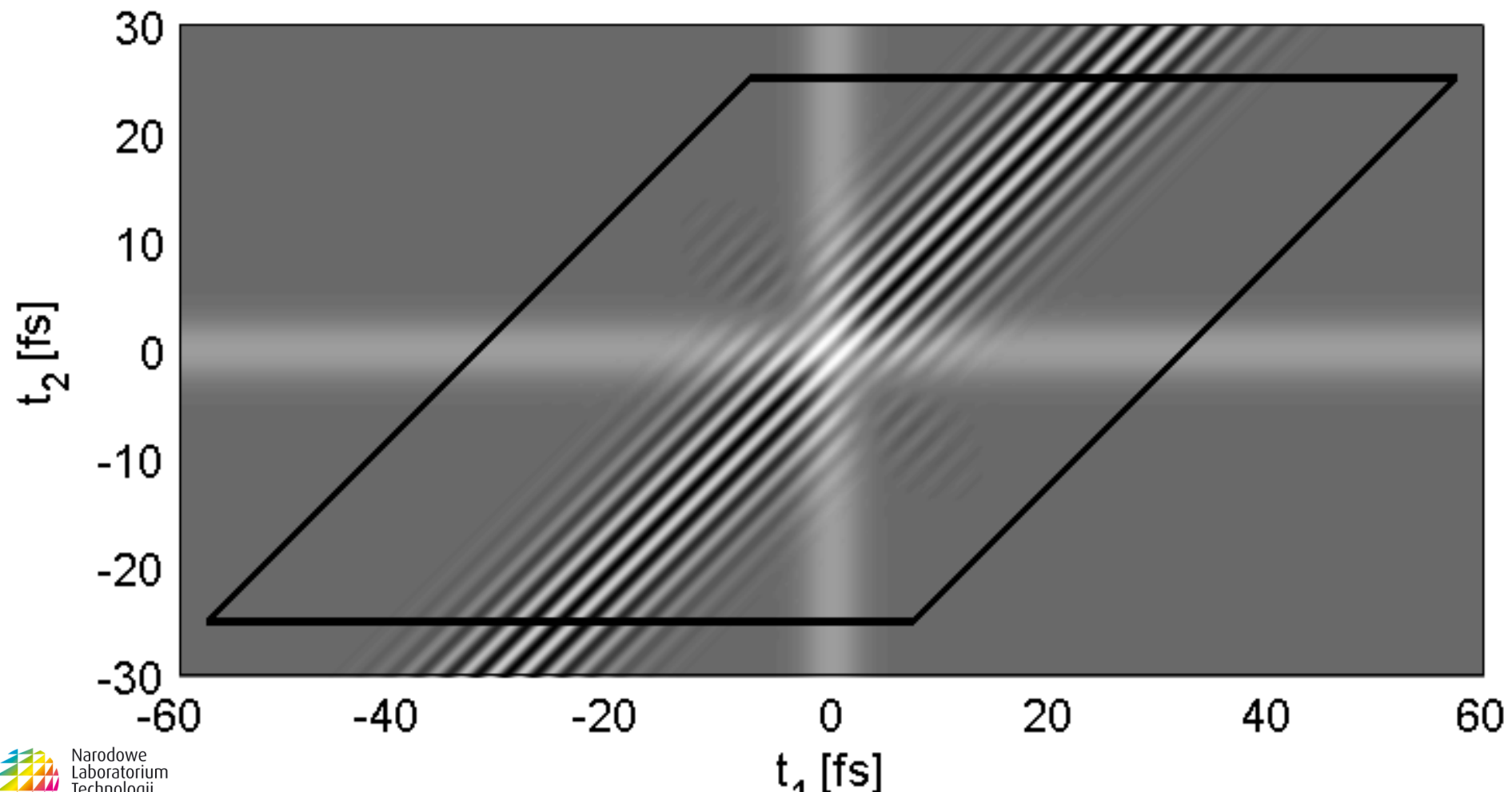
$$0m\bar{m}, m'm \left| \frac{(\omega)^T_* V (\omega)^T A}{(\tau, \tau)^{\mathcal{O}d} \mathcal{F}} \right. \propto (m'm)^d$$



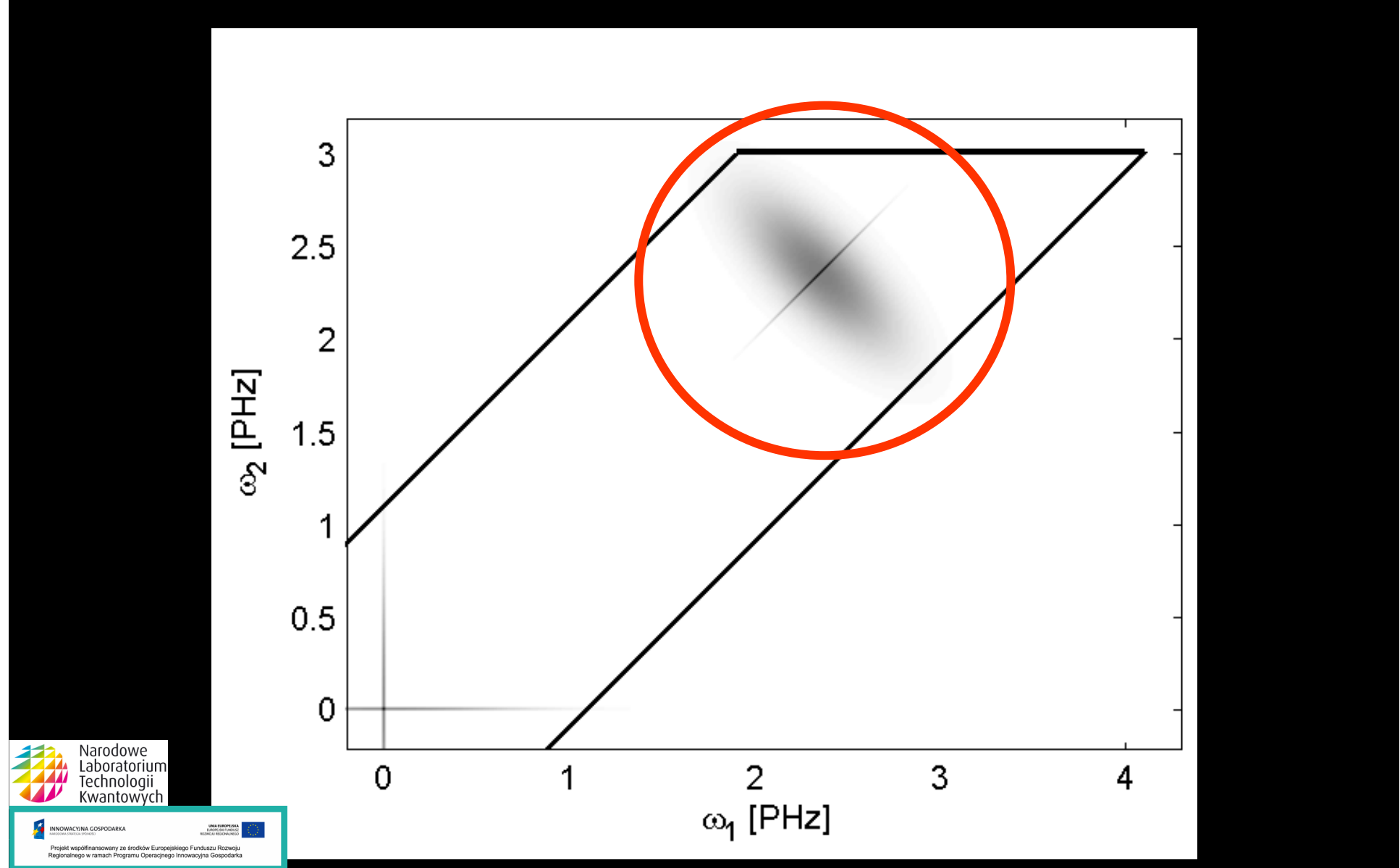
# Retrieval



# Experimental scheme

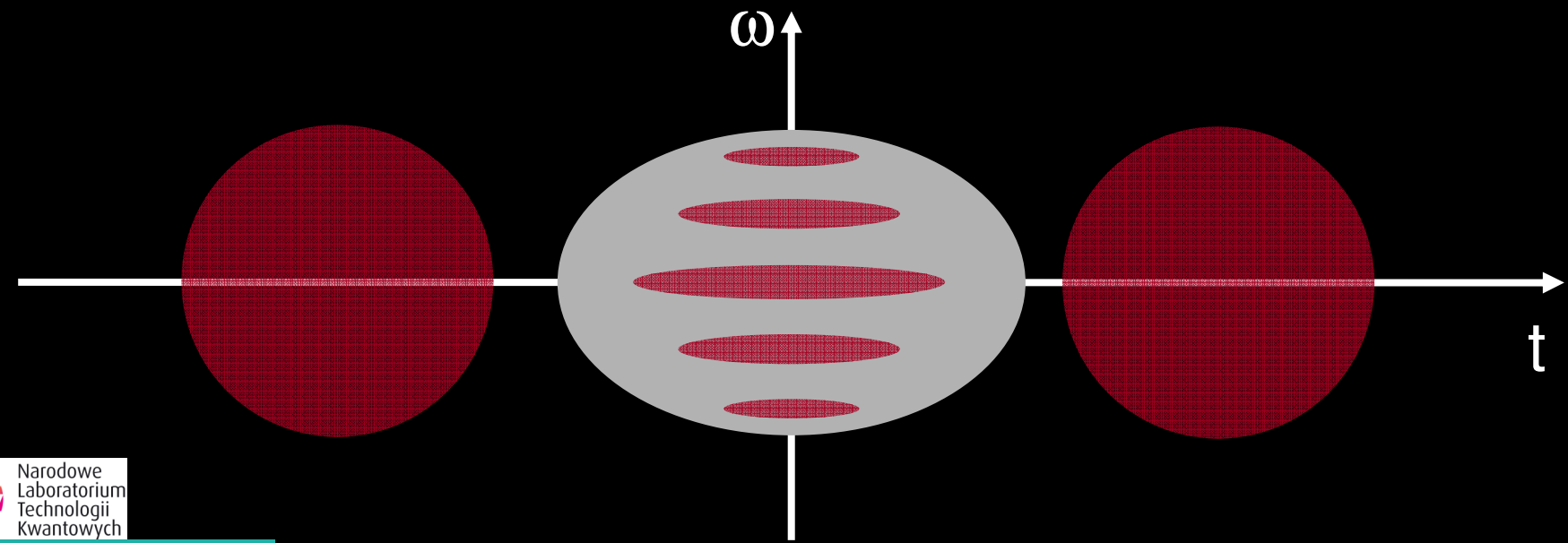


# Simulated result



# Fourier transform

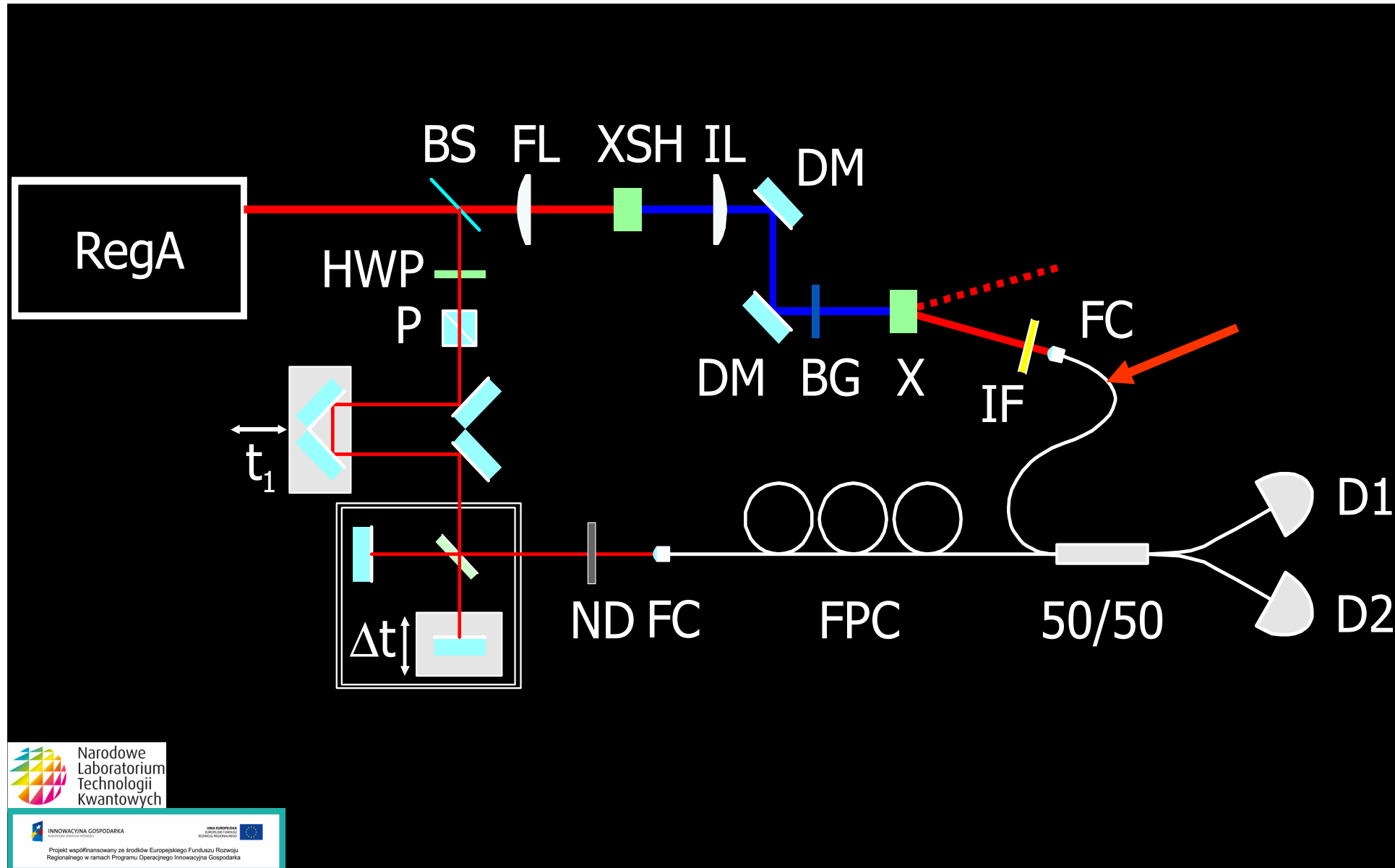
$$\rho(\omega, \omega') \propto \frac{\mathcal{F} p_C(t, t')}{A_L(\omega) A_L^*(\omega')} \Big|_{\omega, \omega' \simeq \omega_0}$$



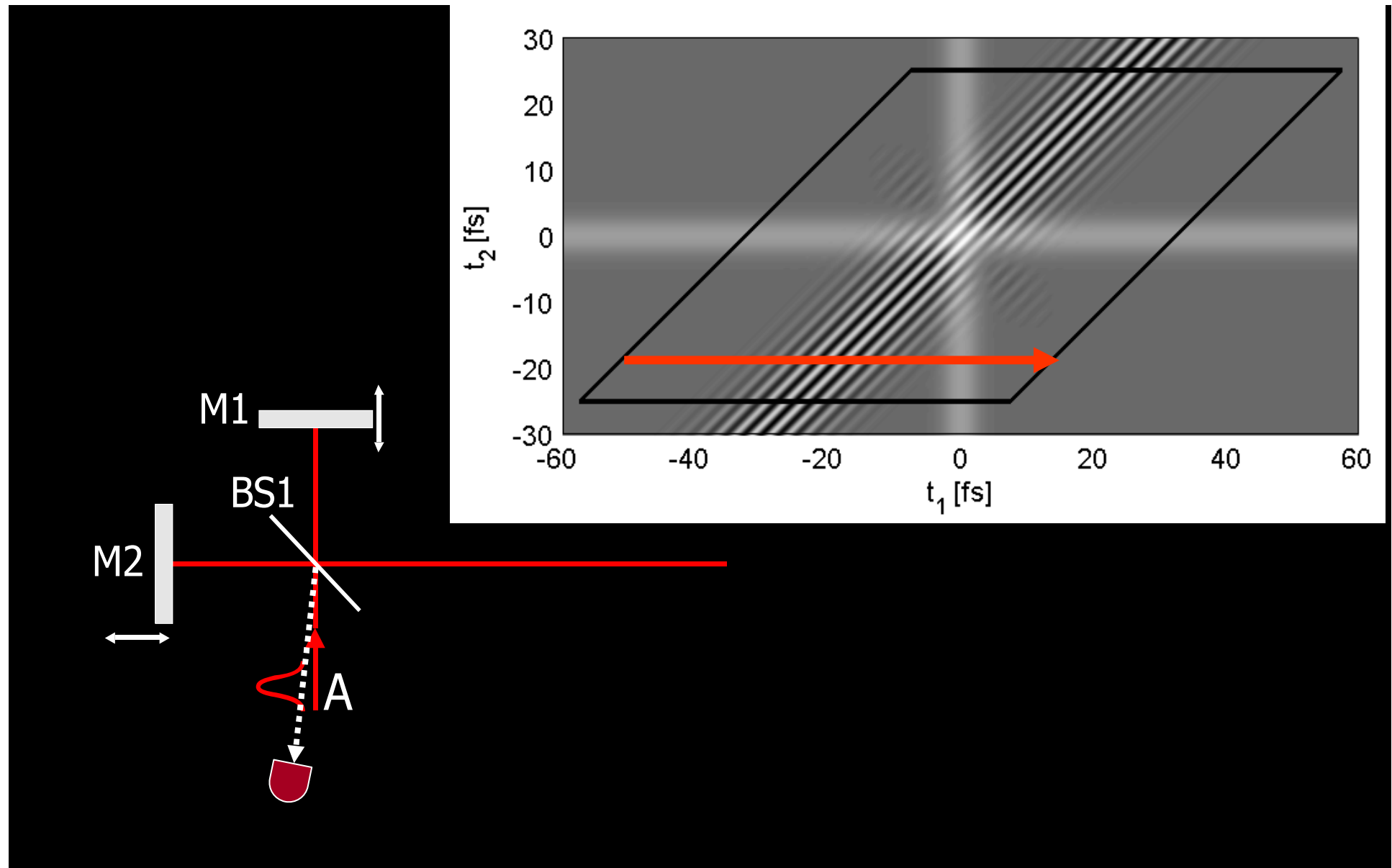
Narodowe  
Laboratorium  
Technologii  
Kwantowych

INNOWACYJNA GOSPODARKA  
PROJEKT SPÓŁCZESKI  
PRZEDSIĘBIORSTWA  
EUROPEJSKI FUNDUSZ ROZWOJU  
REGIONALNEGO  
Projekt współfinansowany ze środków Europejskiego Funduszu Rozwoju Regionalnego w ramach Programu Operacyjnego Innowacyjna Gospodarka

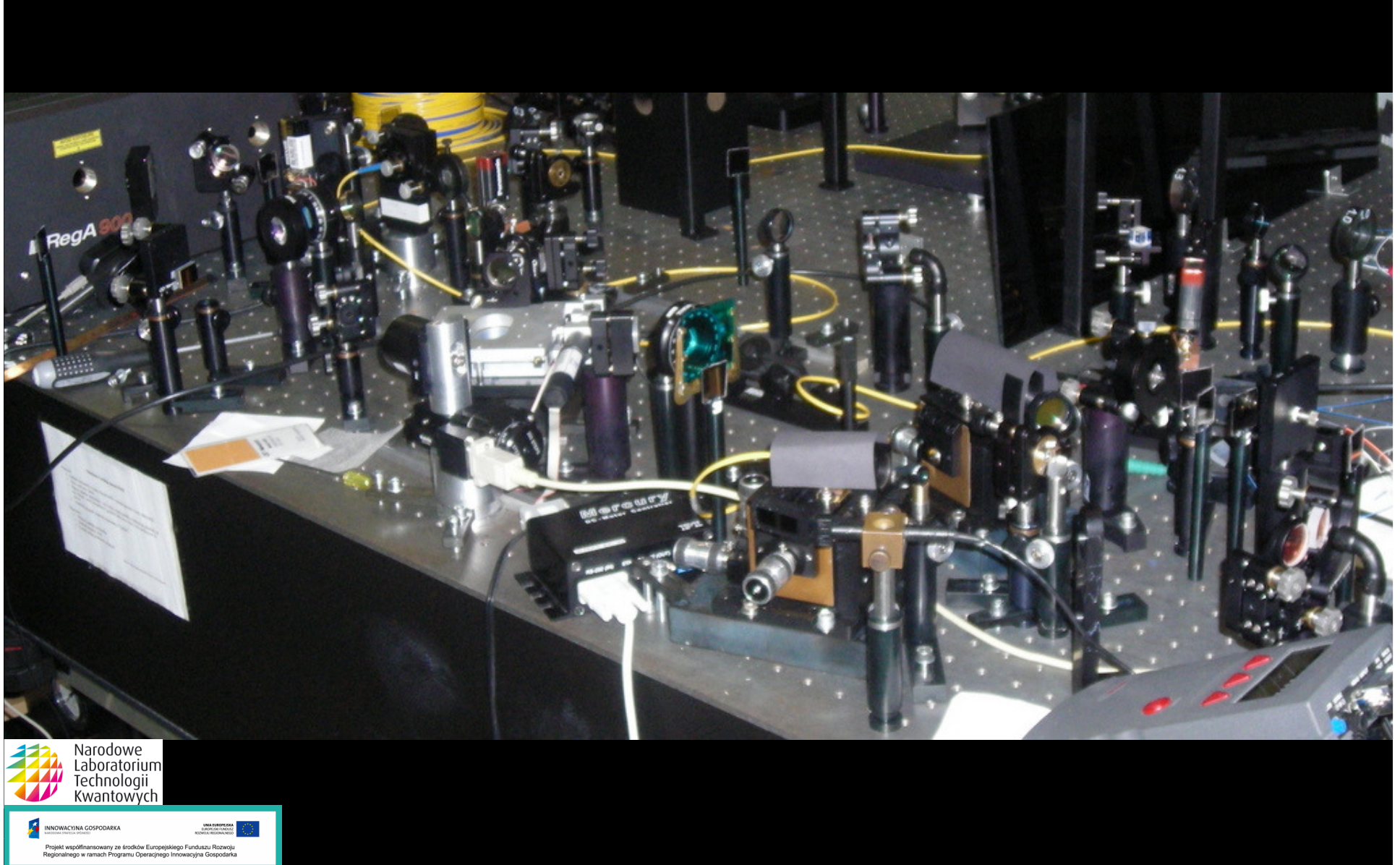
# Retrieval



# Setup



# Passive stabilization



Narodowe  
Laboratorium  
Technologii  
Kwantowych

INNOWACYJNA GOSPODARKA  
PROGRAM OPERACYJNY INNOWACJI

UNIA EUROPEJSKA  
EUROPEAN UNION  
FUNDUSZ ROZWOJU  
REGIONAL DEVELOPMENT FUND

Projekt współfinansowany ze środków Europejskiego Funduszu Rozwoju Regionalnego w ramach Programu Operacyjnego Innowacyjna Gospodarka

# Setup

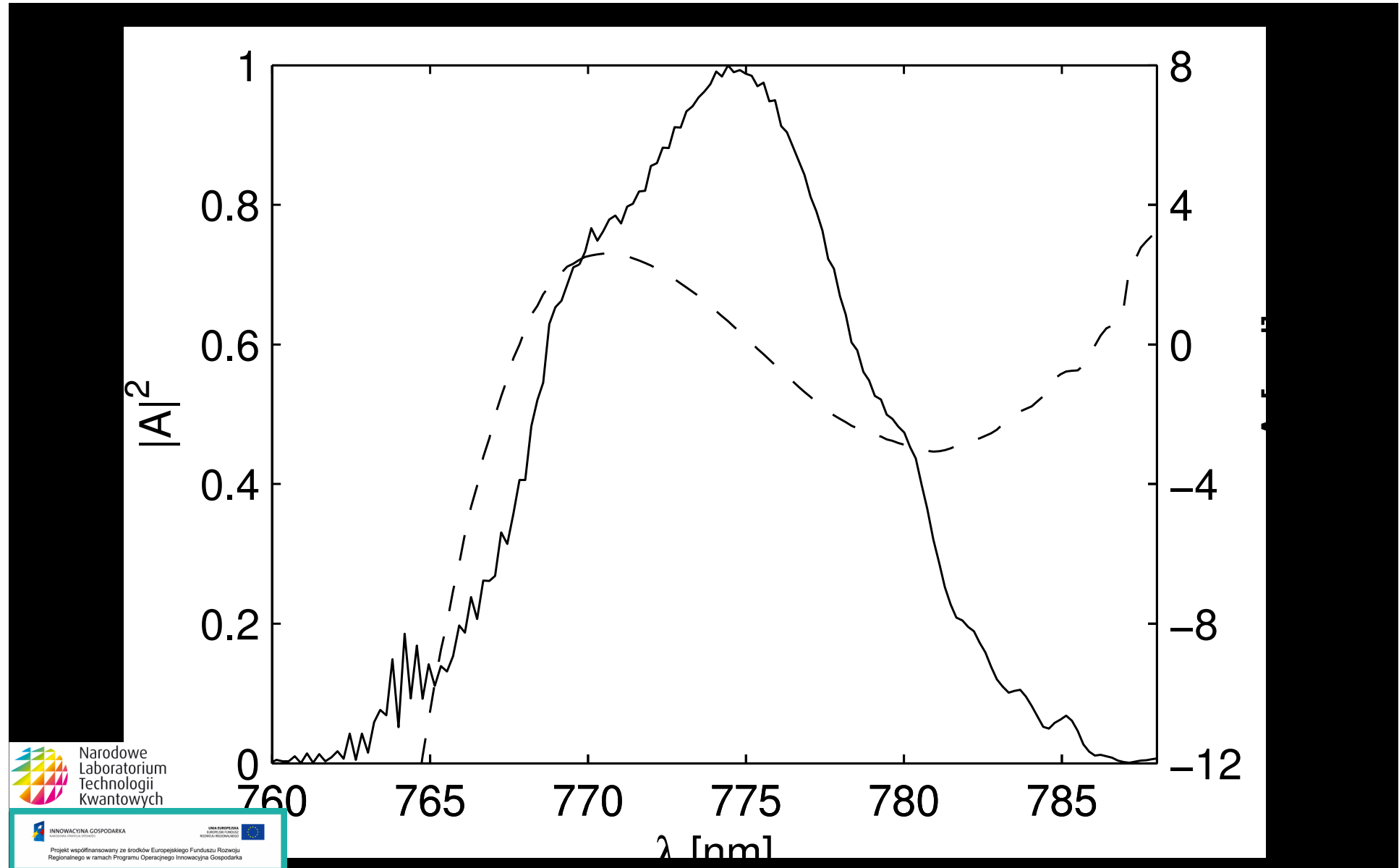
$$\rho(\omega, \omega') \propto \frac{\mathcal{F} p_C(t, t')}{A_L(\omega) A_L^*(\omega')} \Big|_{\omega, \omega' \simeq \omega_0}$$



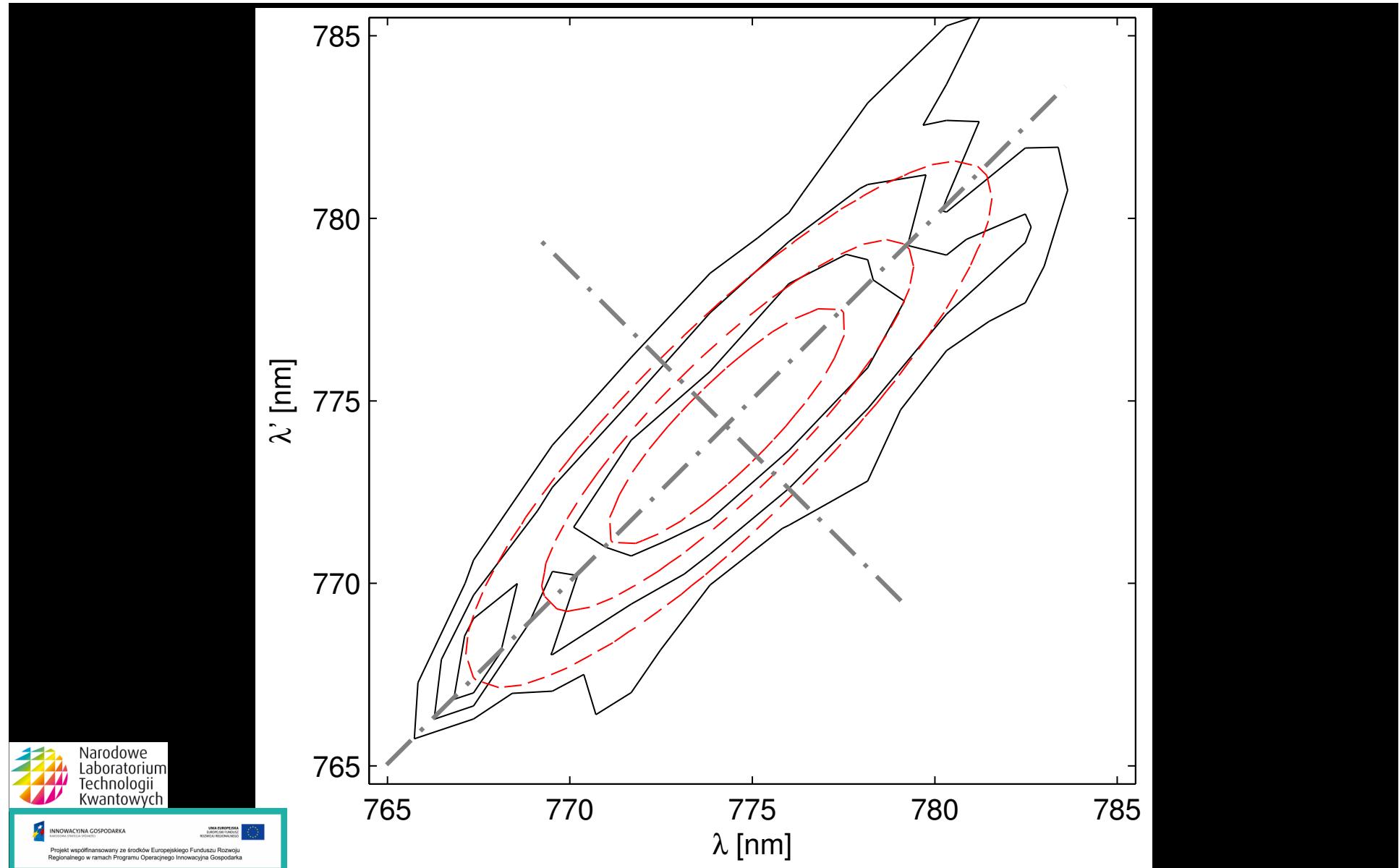
Narodowe  
Laboratorium  
Technologii  
Kwantowych

INNOWACYJNA GOSPODARKA  
PROJEKT SPÓŁKOWSKI  
PRZEDsiębRZĘDNI  
Projekt współfinansowany ze środków Europejskiego Funduszu Rozwoju  
Regionalnego w ramach Programu Operacyjnego Innowacyjna Gospodarka

# Reference



# Reference pulses



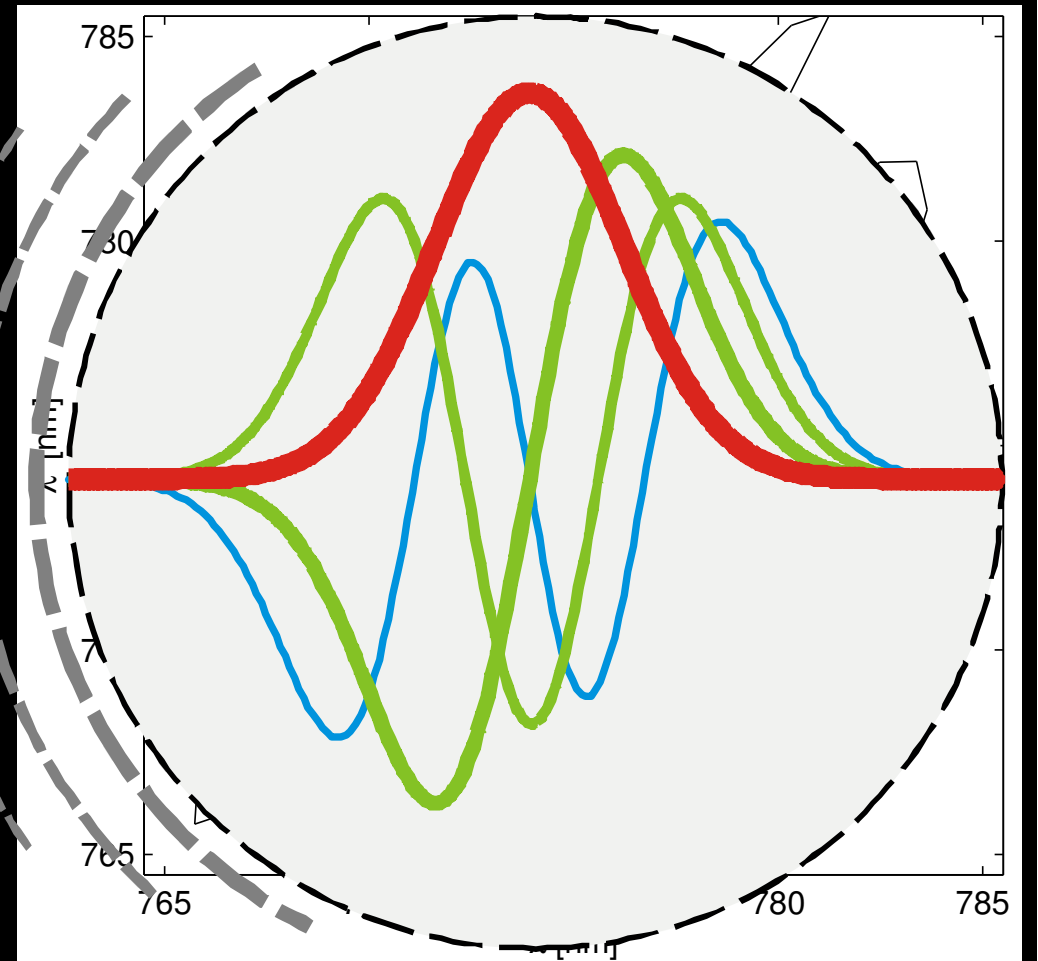
Result -  $\rho(\lambda, \lambda')$

$$\hat{\rho} = \iint d\omega d\omega' \rho(\omega, \omega') \hat{a}^\dagger(\omega) |0\rangle \langle 0| \hat{a}(\omega')$$

$$\rho(\omega, \omega') = \sum_n p_n f_n^*(\omega) f_n(\omega')$$

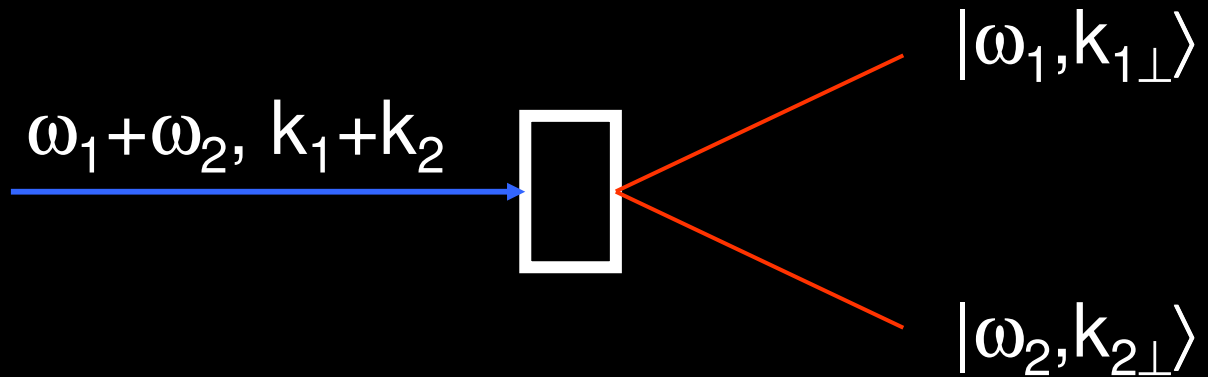
$$\hat{\rho} = \sum_n p_n |1_n\rangle \langle 1_n|$$

$$|1_n\rangle = \int d\omega f_n(\omega') \hat{a}^\dagger(\omega) |0\rangle$$



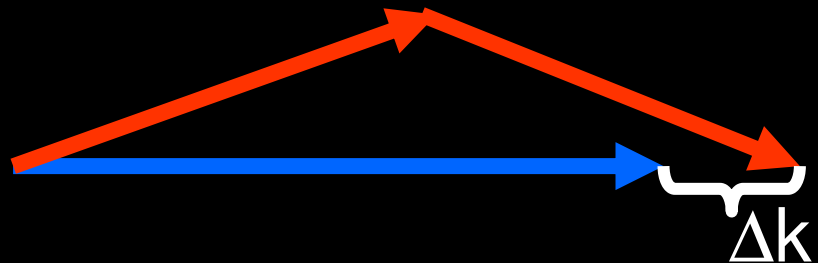
WW, P. Kolenderski, R. Frankowski, PRL **99**, 123601 (2007)

# Spectral density matrix

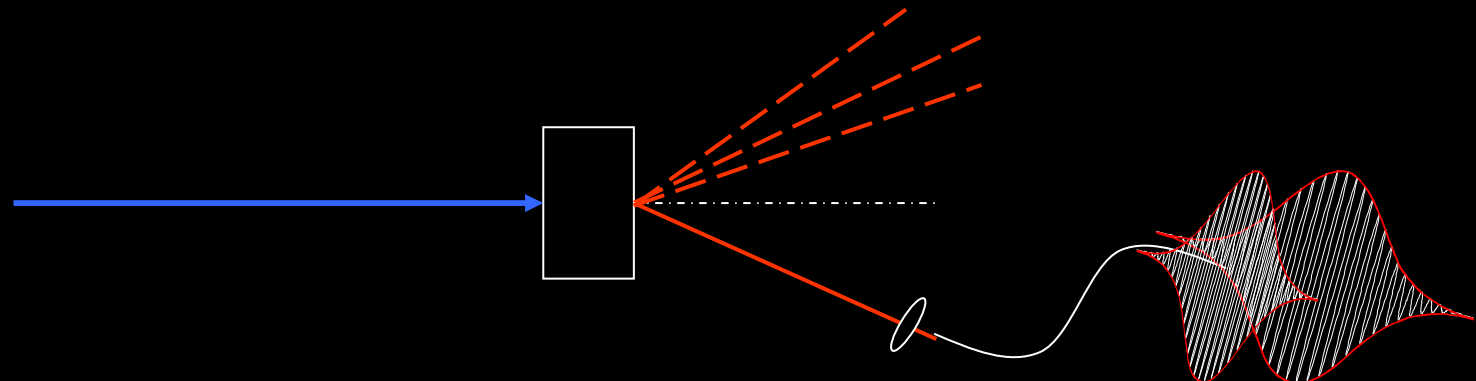


$\langle \omega_1, k_{1\perp}, \omega_2, k_{2\perp} | \text{out} \rangle =$

$$A_p(\omega_1+\omega_2, k_1+k_2) \sin(\Delta k L/2)/\Delta k$$



# Theoretical model



$$\rho(\omega, \omega') = \sum p_a |1_a\rangle\langle 1_a|$$



# Mixedness

$$|1\rangle = \sum c_k |1\rangle_k$$

$$\rho = \sum p_a |1_a\rangle\langle 1_a|$$



Narodowe  
Laboratorium  
Technologii  
Kwantowych

INNOWACYJNA GOSPODARKA  
PROGRAM OPERACYJNY INNOWACJI

UNA EUROPEA  
EUROPEAN UNION  
FUNDUSZ ROZWOJU  
REGIONAL DEVELOPMENT FUND

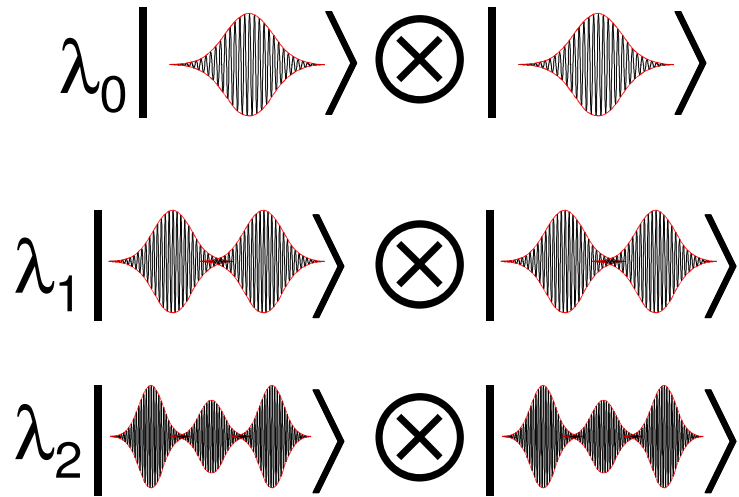
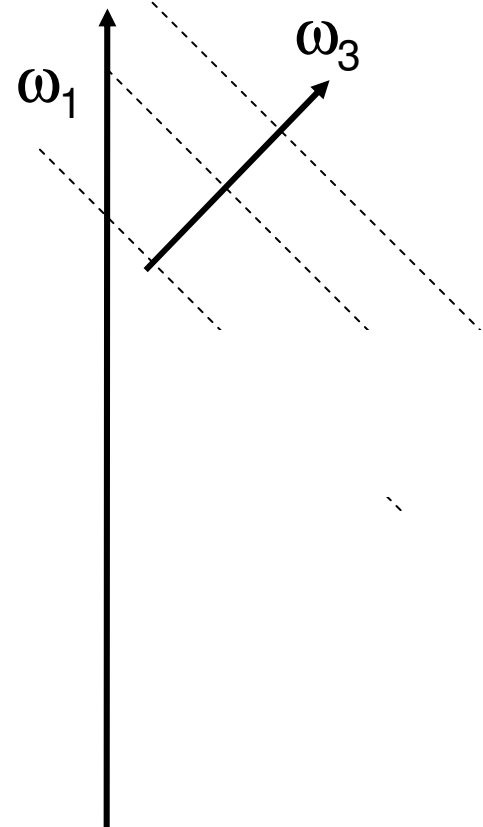
Projekt współfinansowany ze środków Europejskiego Funduszu Rozwoju Regionalnego w ramach Programu Operacyjnego Innowacyjna Gospodarka

# Sieving

# Filtering



Narodowe  
Laboratorium  
Technologii  
Kwantowych

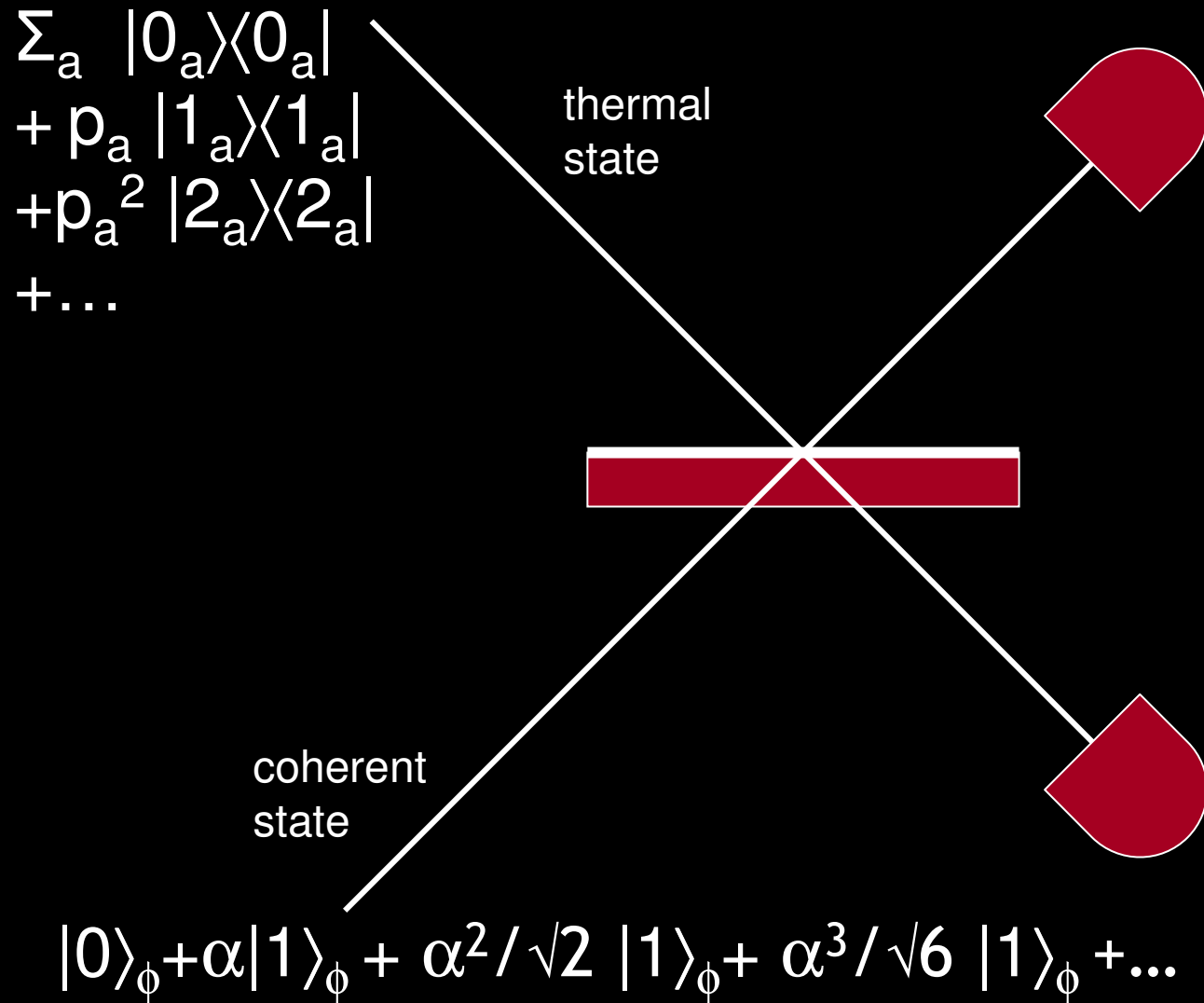


$$\rho(\omega, \omega') = \sum p_a |1_a\rangle\langle 1_a|$$

$$|1\rangle_\phi$$

$$p_C \propto 1 - \langle \phi | \rho | \phi \rangle$$

# Quantum HOMi



# Semiclassical HOMI

0 photons: probability  $\sim 1$ , no clicks

1 photon: either

$|0\rangle\otimes|1\rangle$ : probability  $\alpha^2$ , no coincidences

or  $|1\rangle\otimes|0\rangle$ , probability  $\sum_a p_a$ , no coincidences

2 photons: either

$|1\rangle\otimes|1\rangle$ : probability  $\alpha^2 \cdot \sum_a p_a$

or  $|2\rangle\otimes|0\rangle$ , probability  $\sum_a p_a^2$

or  $|0\rangle\otimes|2\rangle$ , probability  $\alpha^4/2$

3 photons:

probability  $\sim \max(\alpha^2, p_a)^3$  – negligible for both  $<<1$

# Semiclassical HOMI

$|1\rangle \otimes |1\rangle$ : probability  $\alpha^2 \cdot \sum_a p_a$



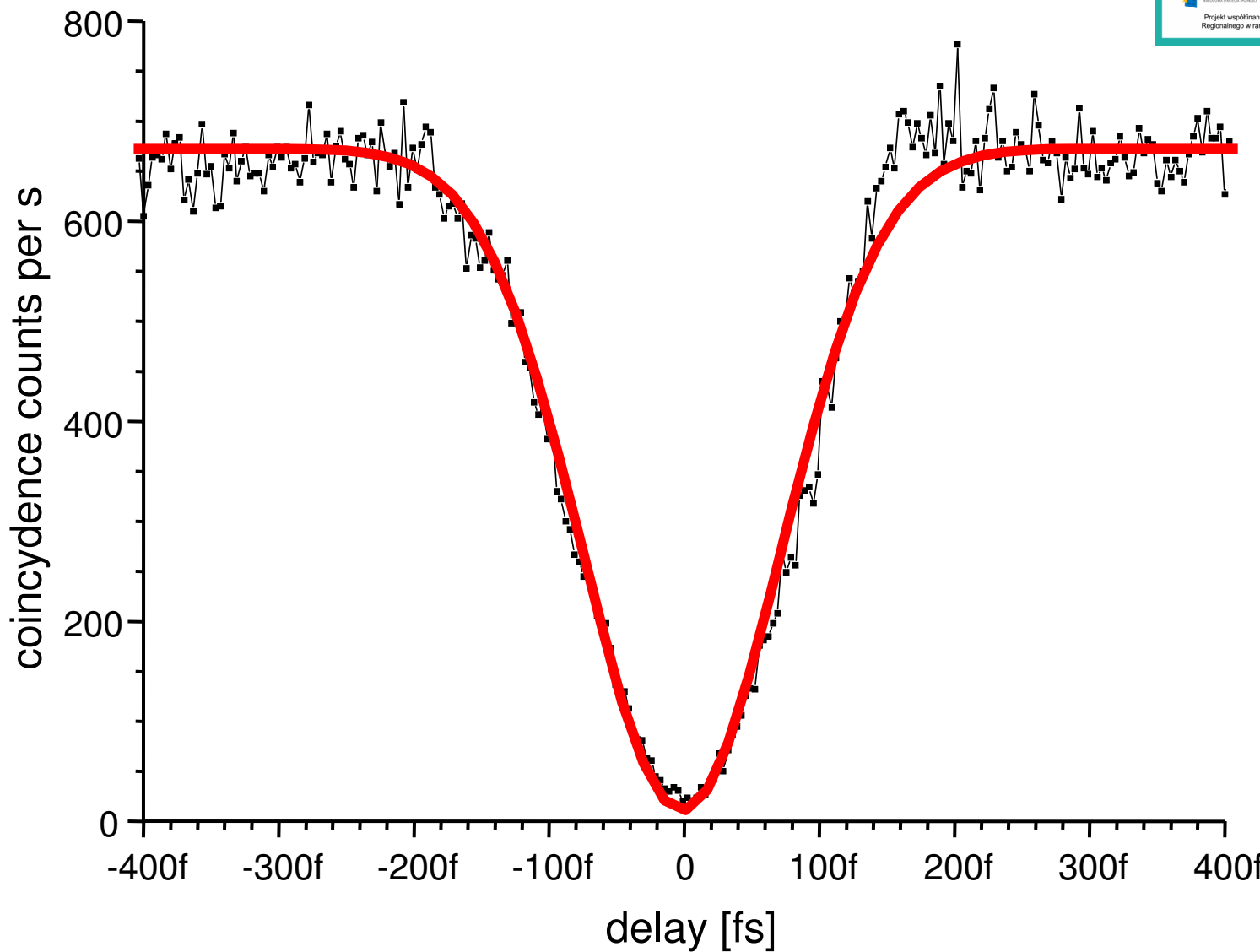
leads to coincidences in  
 $\frac{1}{2} - \frac{1}{2}\langle \rho | \phi | \rho \rangle$  cases

$|2\rangle \otimes |0\rangle$ , probability  $\sum_a p_a^2$   
 $|0\rangle \otimes |2\rangle$ , probability  $\alpha^4/2$



leads to coincidences in  $\frac{1}{2}$  cases

# Semiclassical HOMI



Narodowe  
Laboratorium  
Technologii  
Kwantowych

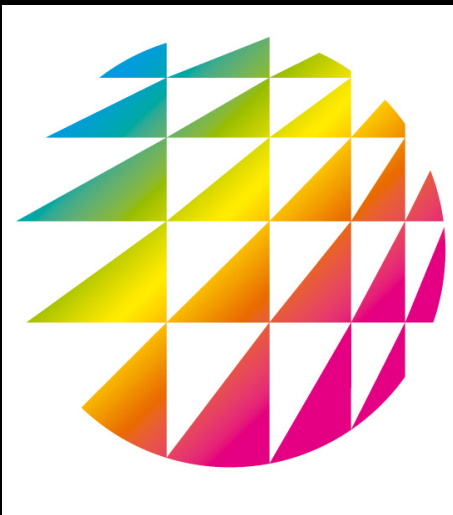
# HOMi buried

- Real photons have some shape
- Or even a few ‘eigenshapes’ with nonzero probabilities
- First full temporal characterization of a single photon
- Result agrees with the model



WW, P. Kolenderski, R. Frankowski  
[quant-ph/0702200](https://arxiv.org/abs/quant-ph/0702200)

# Summary



# Narodowe Laboratorium Technologii Kwantowych



**INNOWACYJNA GOSPODARKA**  
NARODOWA STRATEGIA SPÓŁNOŚCI

**UNIA EUROPEJSKA**  
EUROPEJSKI FUNDUSZ  
ROZWOJU REGIONALNEGO



Projekt współfinansowany ze środków Europejskiego Funduszu Rozwoju Regionalnego w ramach Programu Operacyjnego Innowacyjna Gospodarka